

自动控制原理

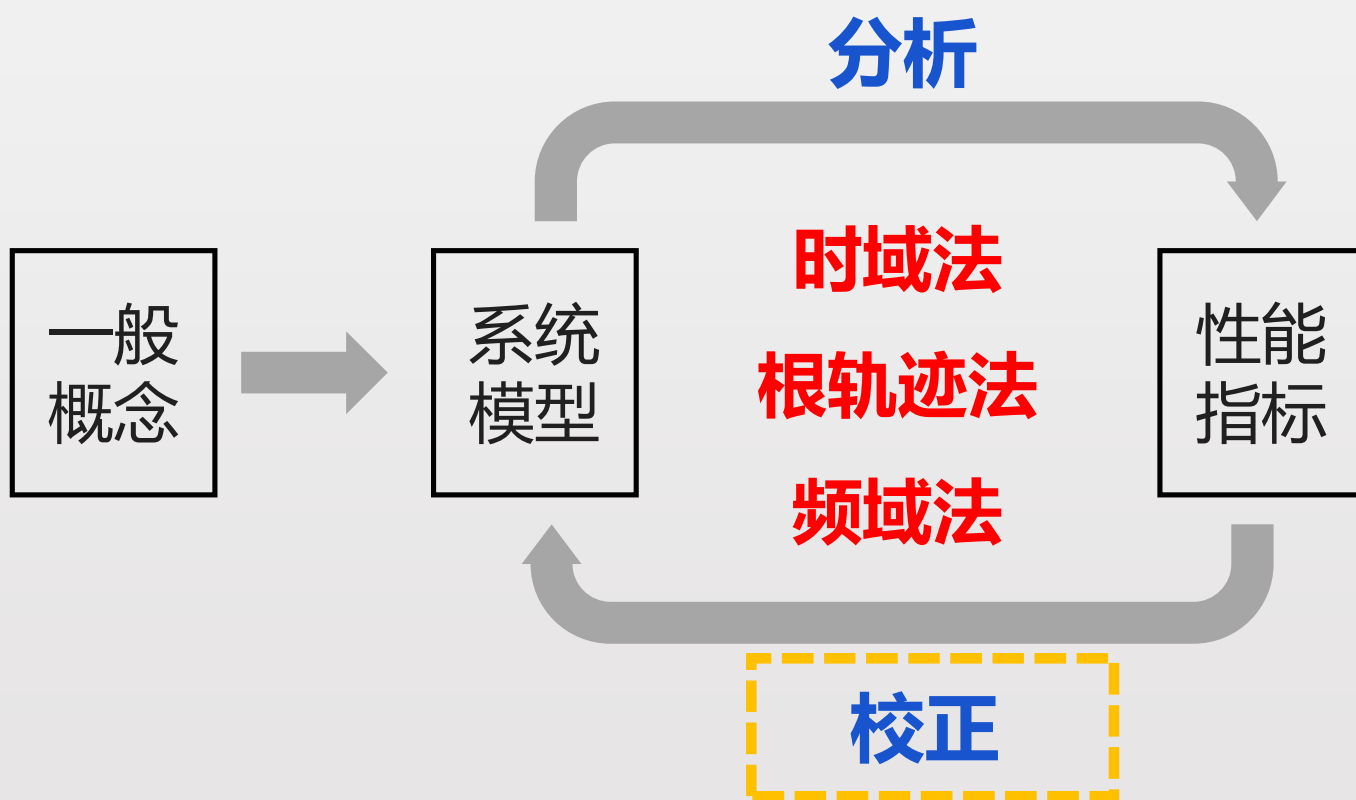
汪 晶

QQ:150302300

第六章 线性系统的校正

本章知识点:

- 校正的基本概念
- 线性系统的基本控制规律
- 常用校正装置及其特性
- 串联相位超前校正
- 串联相位滞后校正
- 串联相位滞后-超前校正



第一节 校正的基本概念

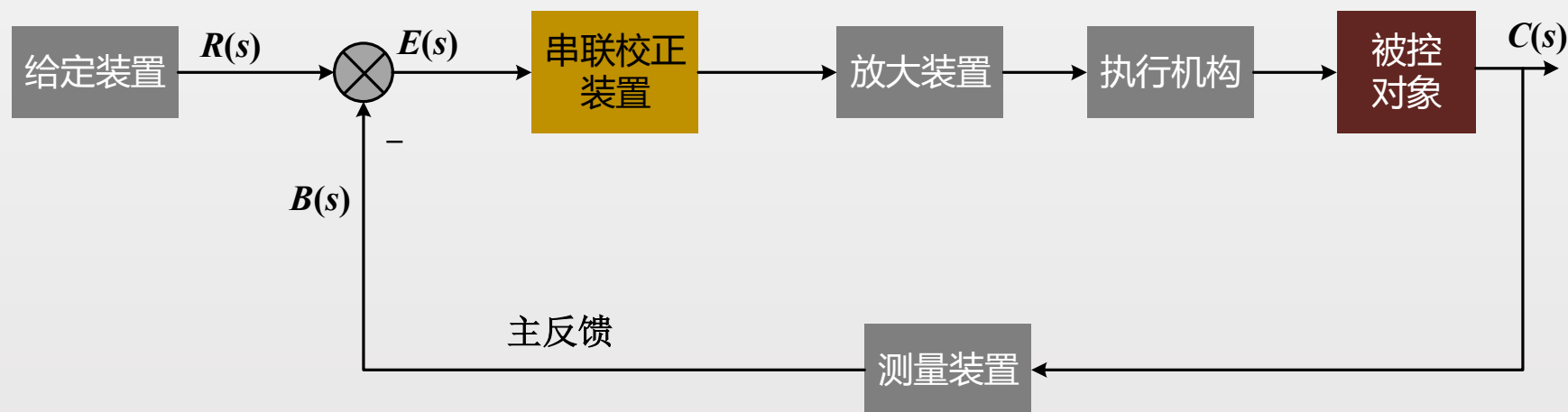
校正：

调整控制器中放大器增益；

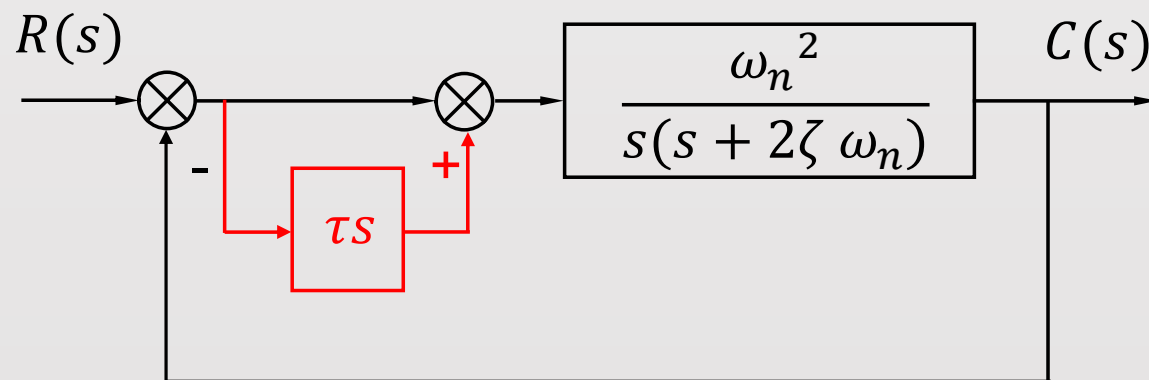
在系统中引入**附加装置**。

→ **校正装置**

串联校正： 校正装置一般接在系统误差检测点之后和放大元件之前，
串联于系统前向通道之中

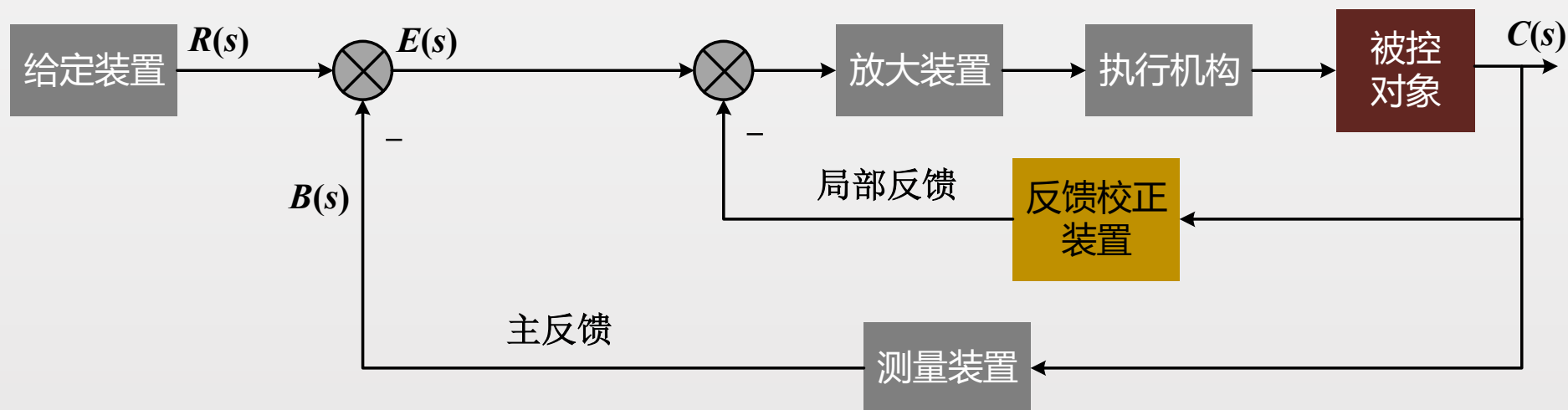


例：

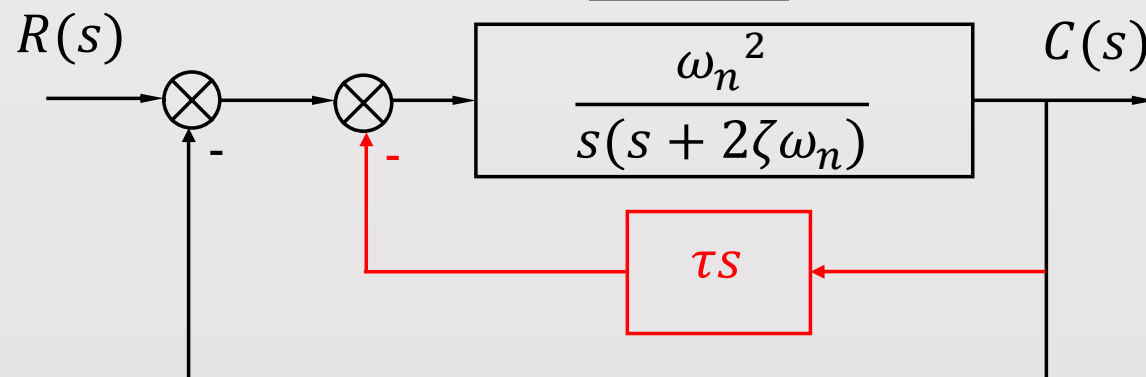


比例微分控制的二阶系统框图

反馈校正：接在系统局部反馈通道之中



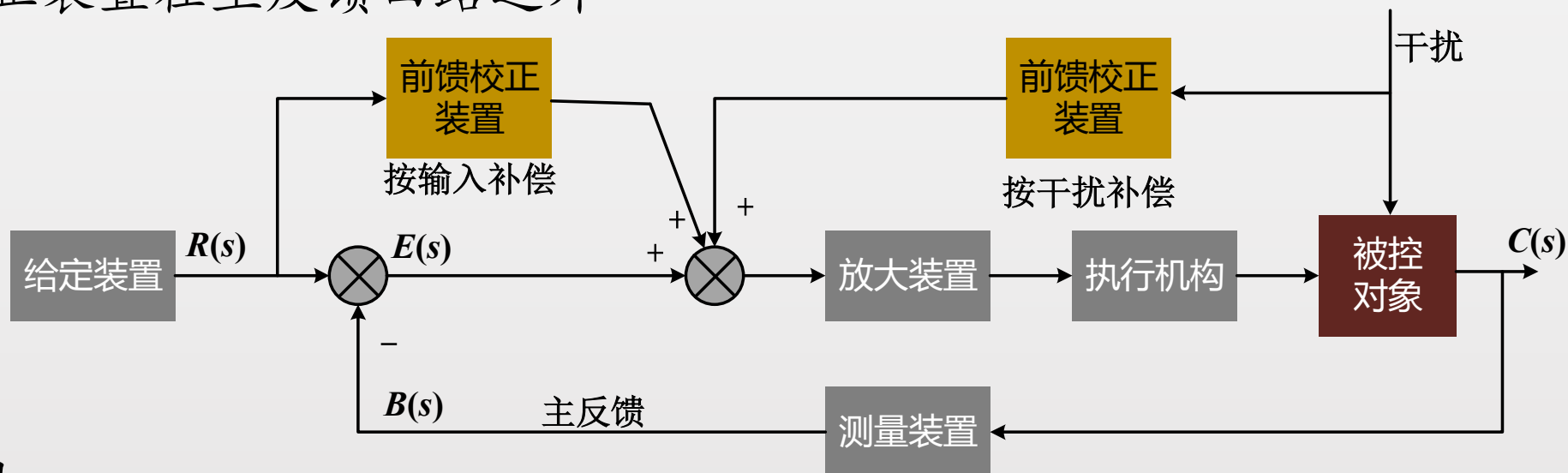
例：



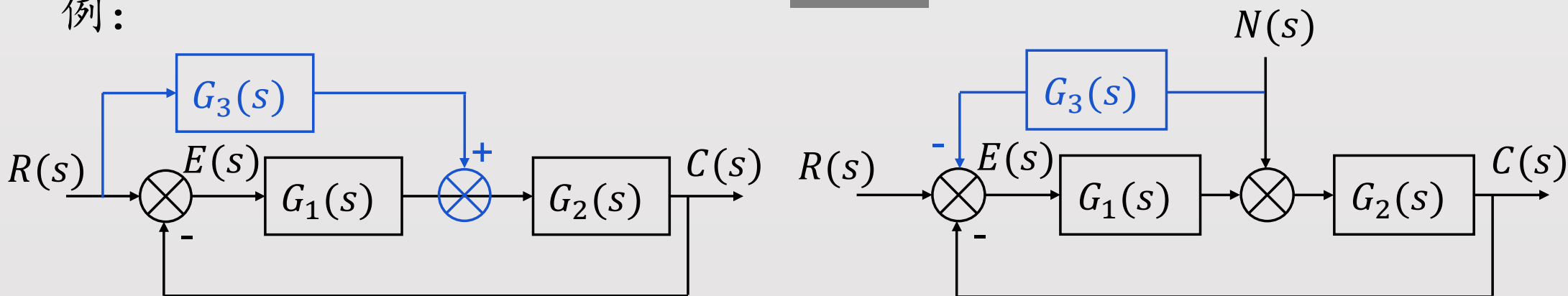
测速反馈的二阶系统框图

前馈校正（顺馈校正、前馈补偿、复合校正）：

校正装置在主反馈回路之外



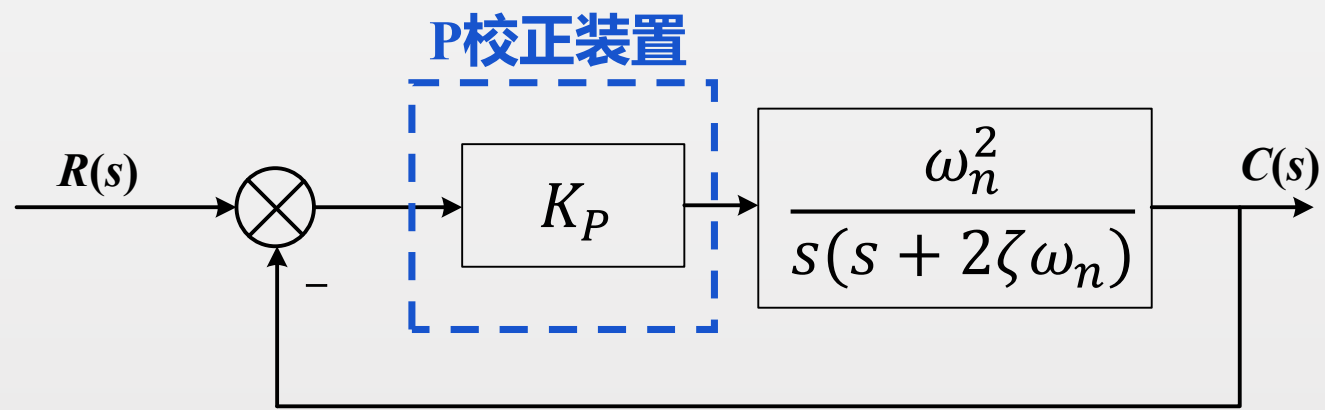
例：



第二节 线性系统的基本控制规律

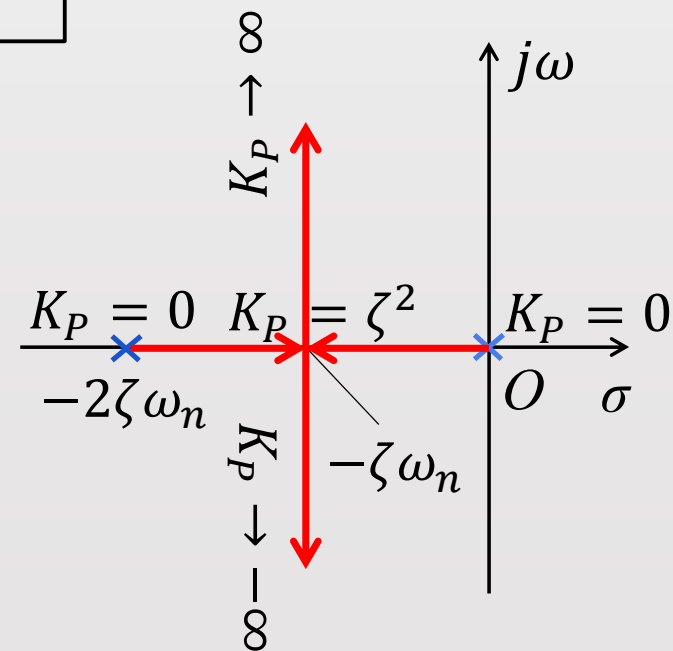
{	比例控制(P)	Proportional
	积分控制(I)	Integral
	微分控制(D)	Derivative

一、比例控制(P)



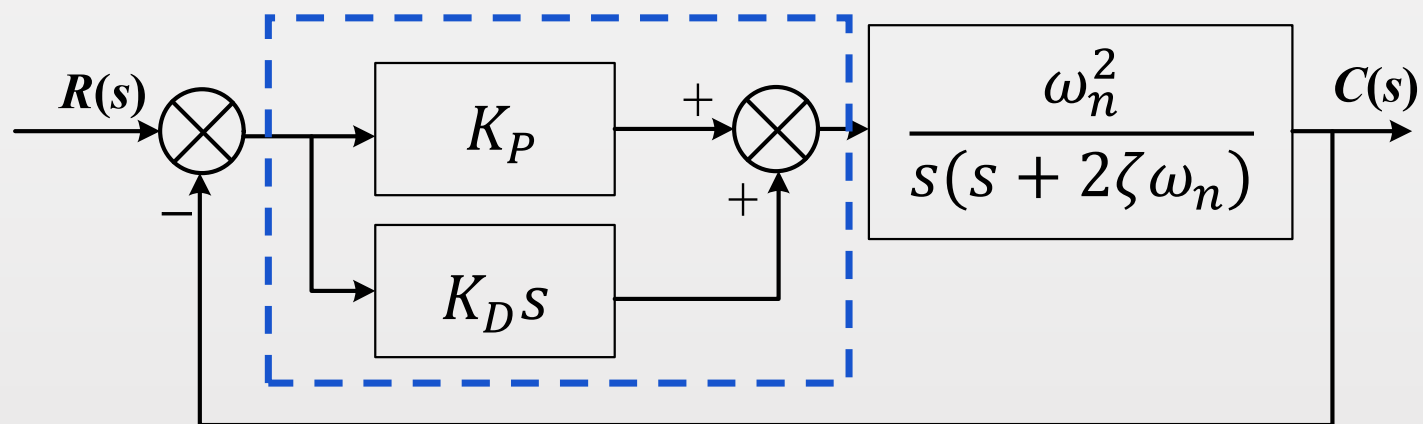
采用比例控制器的二阶系统

$$G(s) = K_P \frac{\omega_n^2}{s(s + 2\zeta\omega_n)}$$



二、比例微分控制(PD)

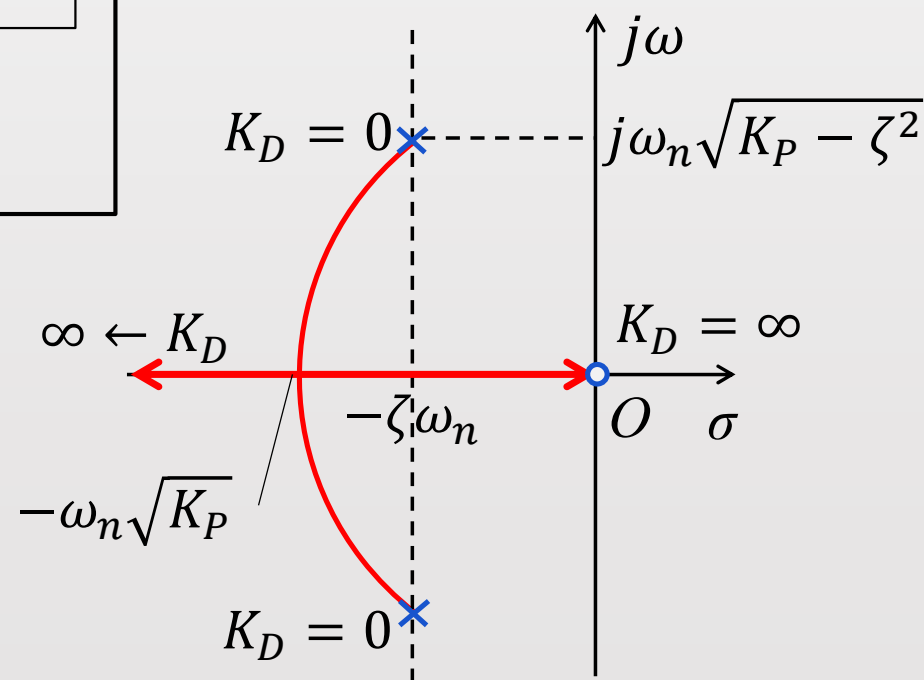
PD校正装置



采用串联比例-微分控制器的二阶系统

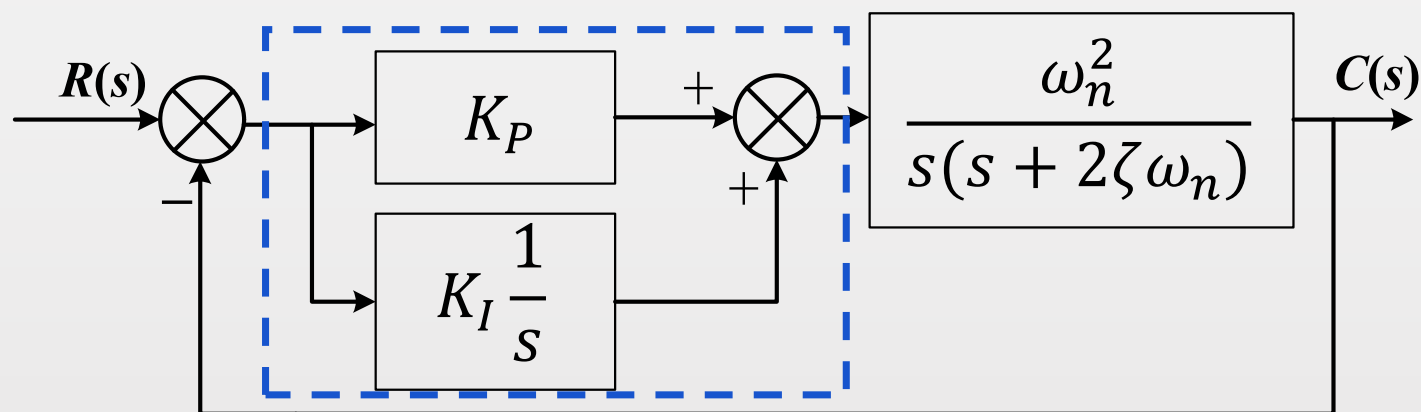
$$G(s) = \frac{\omega_n^2 (K_P + K_D s)}{s(s + 2\zeta\omega_n)}$$

$$K_D \frac{\omega_n^2 s}{s^2 + 2\zeta\omega_n s + K_P \omega_n^2} = -1$$



三、比例积分控制(PI)

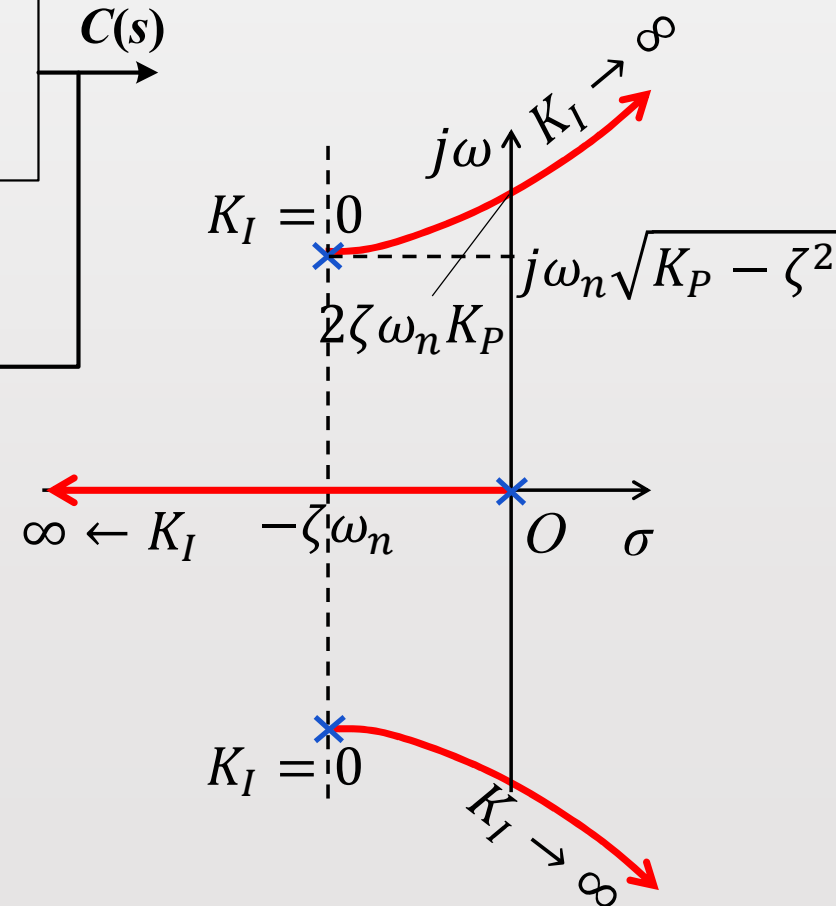
PI校正装置



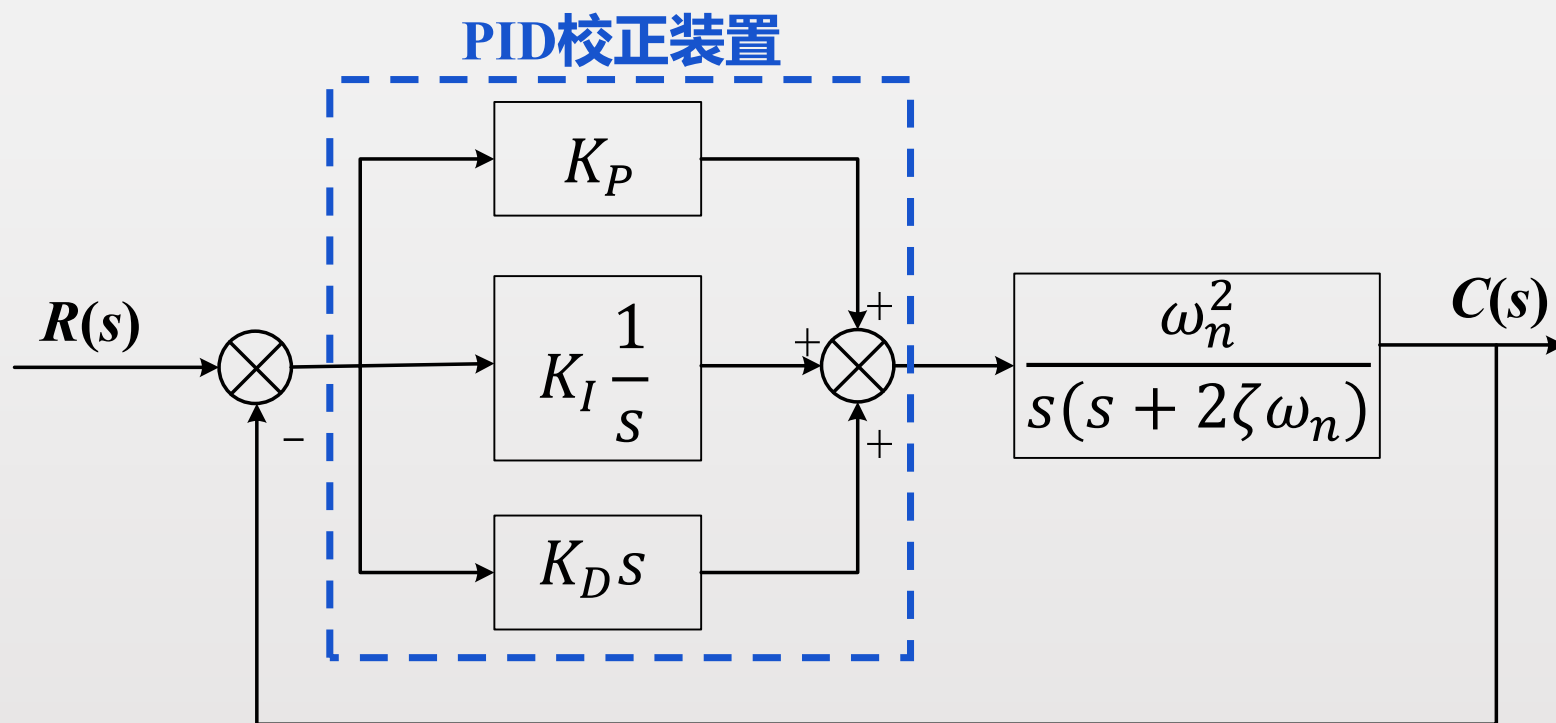
采用串联比例-积分控制器的二阶系统

$$G(s) = \frac{\omega_n^2 (K_P s + K_I)}{s^2 (s + 2\zeta\omega_n)}$$

$$K_I \frac{\omega_n^2}{s(s^2 + 2\zeta\omega_n s + K_P \omega_n^2)} = -1$$



四、比例积分微分控制(PID)



采用串联比例-积分-微分控制器的二阶系统

$$G(s) = \frac{\omega_n^2 (K_D s^2 + K_P s + K_I)}{s^2 (s + 2\zeta\omega_n)}$$

第三节 常用校正装置及其特性

无源校正装置

有源校正装置

比例控制器

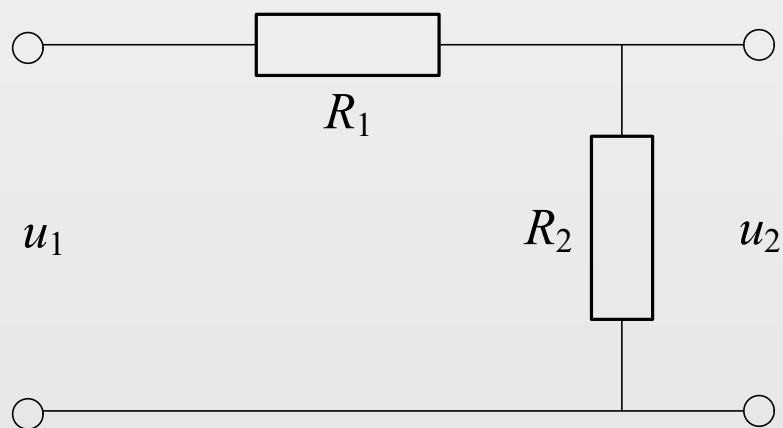
相位滞后校正装置

相位超前校正装置

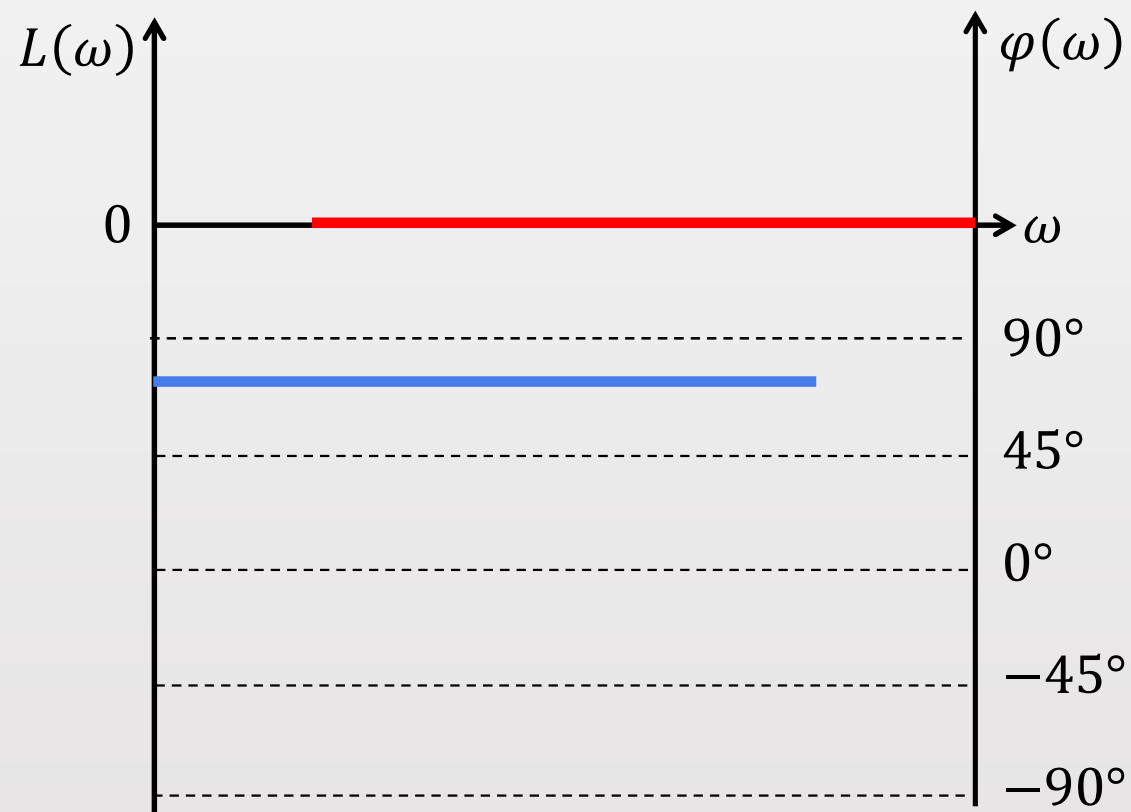
相位滞后-超前校正装置

无源校正装置

(一) 比例控制器



$$K = \frac{U_2(s)}{U_1(s)} = \frac{R_2}{R_2 + R_1} < 1$$



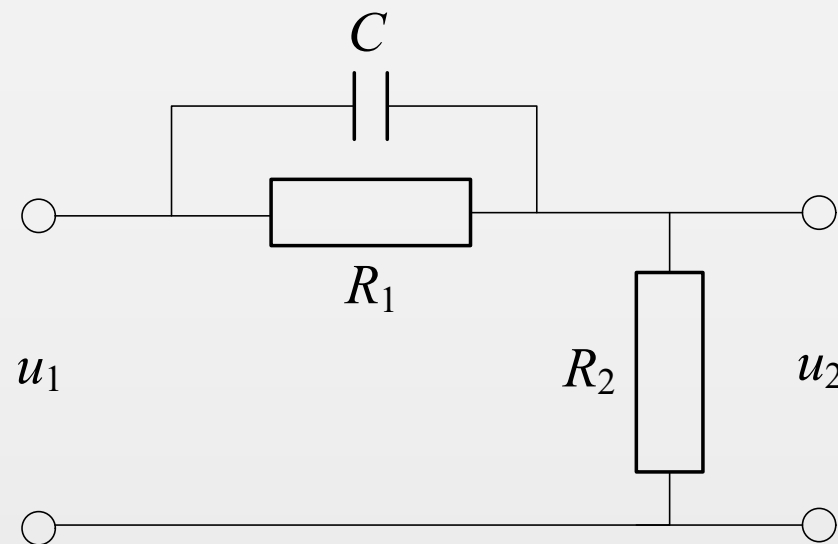
(二) 相位超前校正装置

$$\frac{U_2(s)}{U_1(s)} = \frac{R_2}{R_2 + \frac{1}{\frac{1}{R_1} + Cs}} = \frac{R_2(CR_1s + 1)}{R_1R_2Cs + R_1 + R_2}$$

$$\xrightarrow{\tau=R_1C} \frac{R_2(\tau s + 1)}{R_2\tau s + R_1 + R_2} = \frac{R_2}{R_1 + R_2} \cdot \frac{\tau s + 1}{\frac{R_2}{R_1 + R_2}\tau s + 1}$$

$$\xrightarrow{\alpha = \frac{R_2}{R_1 + R_2}} \alpha \left(\frac{\tau s + 1}{\alpha\tau s + 1} \right)$$

$$G_c(s) = \frac{\tau s + 1}{\alpha\tau s + 1}$$



$$\begin{aligned}\varphi(\omega) &= \arctan(\tau\omega) - \arctan(\alpha\tau\omega) \\ &= \arctan \frac{\tau\omega(1-\alpha)}{1+\alpha\tau^2\omega^2}\end{aligned}$$

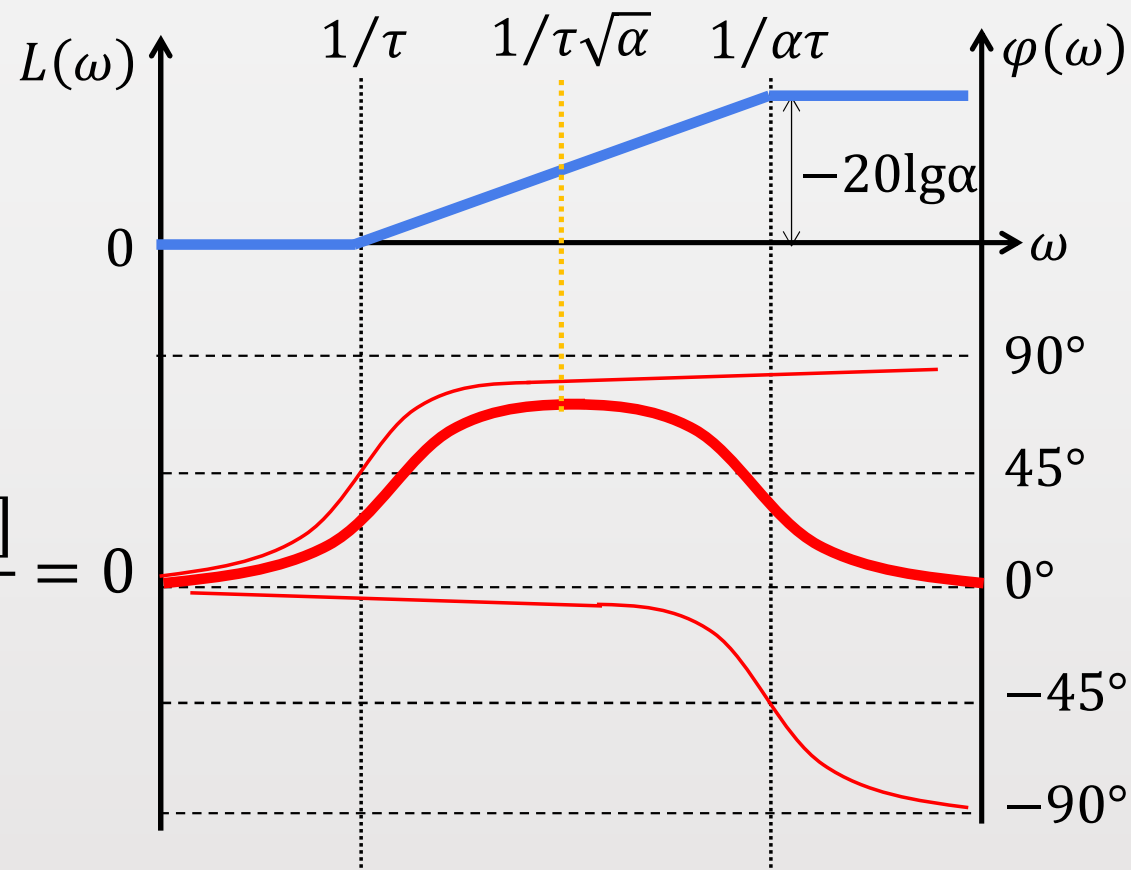
$$\frac{d\varphi(\omega)}{d\omega} = 0 \Rightarrow \frac{d}{d\omega} [\tan \varphi(\omega)] = 0$$

$$\frac{d}{d\omega} \left[\frac{\tau\omega(1-\alpha)}{1+\alpha\tau^2\omega^2} \right] = \frac{\tau(1-\alpha)[1-\alpha\tau^2\omega^2]}{(1+\alpha\tau^2\omega^2)^2} = 0$$

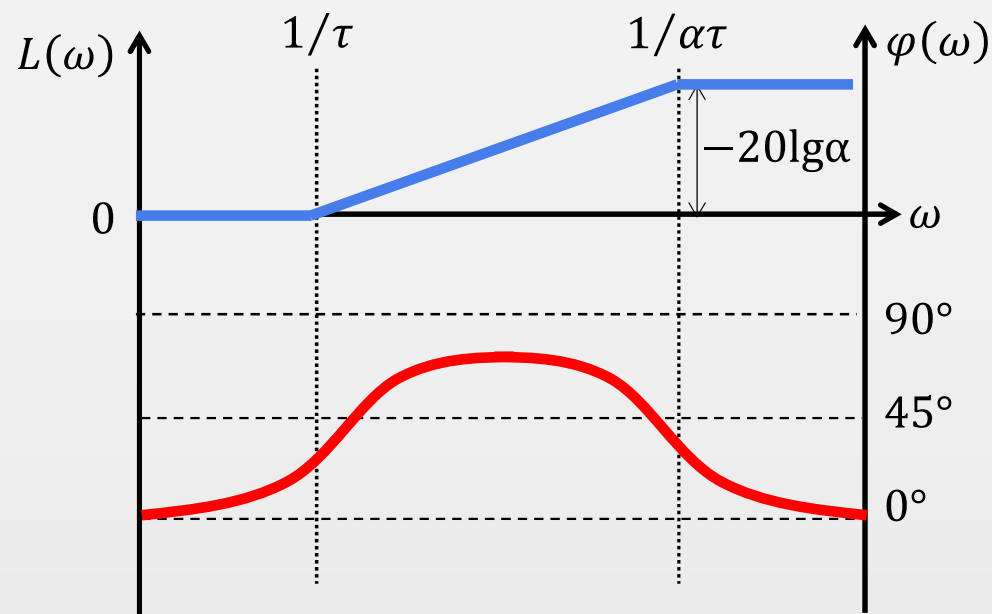
最大超前相位频率: $\omega_m = \frac{1}{\tau\sqrt{\alpha}}$

$$\varphi_m = \arctan \frac{1-\alpha}{2\sqrt{\alpha}} = \arcsin \frac{1-\alpha}{1+\alpha}$$

$$L(\omega_m) = -10\lg\alpha$$



$$G_c(j\omega) = \frac{j\omega\tau + 1}{j\alpha\omega\tau + 1}$$



作用:

- 相位超前，即适当选择校正装置参数，使最大超前角频率 ω_m 置于校正后系统的剪切频率处，就可以有效增加系统的相角裕度，提高系统的相对稳定性。
- 幅值增加，即将校正装置的对数幅频特性叠加到原系统开环对数幅频特性上，会使系统的剪切频率右移（增大），有利于提高系统响应的快速性。

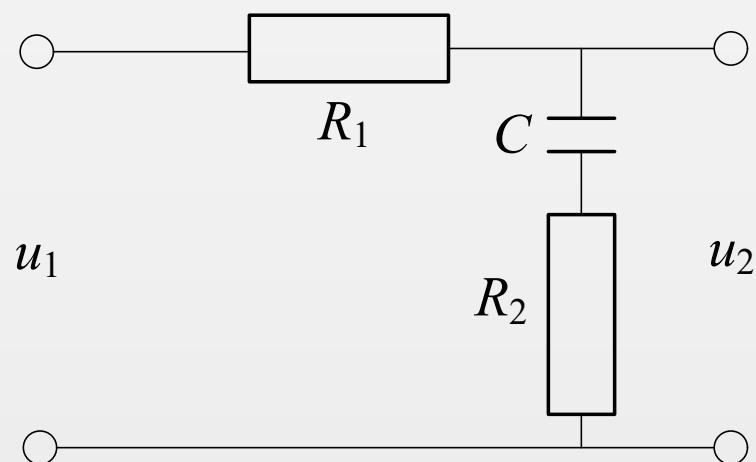
(三) 相位滞后校正装置

$$\frac{U_2(s)}{U_1(s)} = \frac{R_2 + \frac{1}{Cs}}{R_1 + R_2 + \frac{1}{Cs}} = \frac{R_2Cs + 1}{(R_1 + R_2)Cs + 1}$$

$$\xrightarrow{\tau=R_2C} \frac{\tau s + 1}{(R_1 + R_2)Cs + 1} = \frac{\tau s + 1}{\frac{R_1 + R_2}{R_2}\tau s + 1}$$

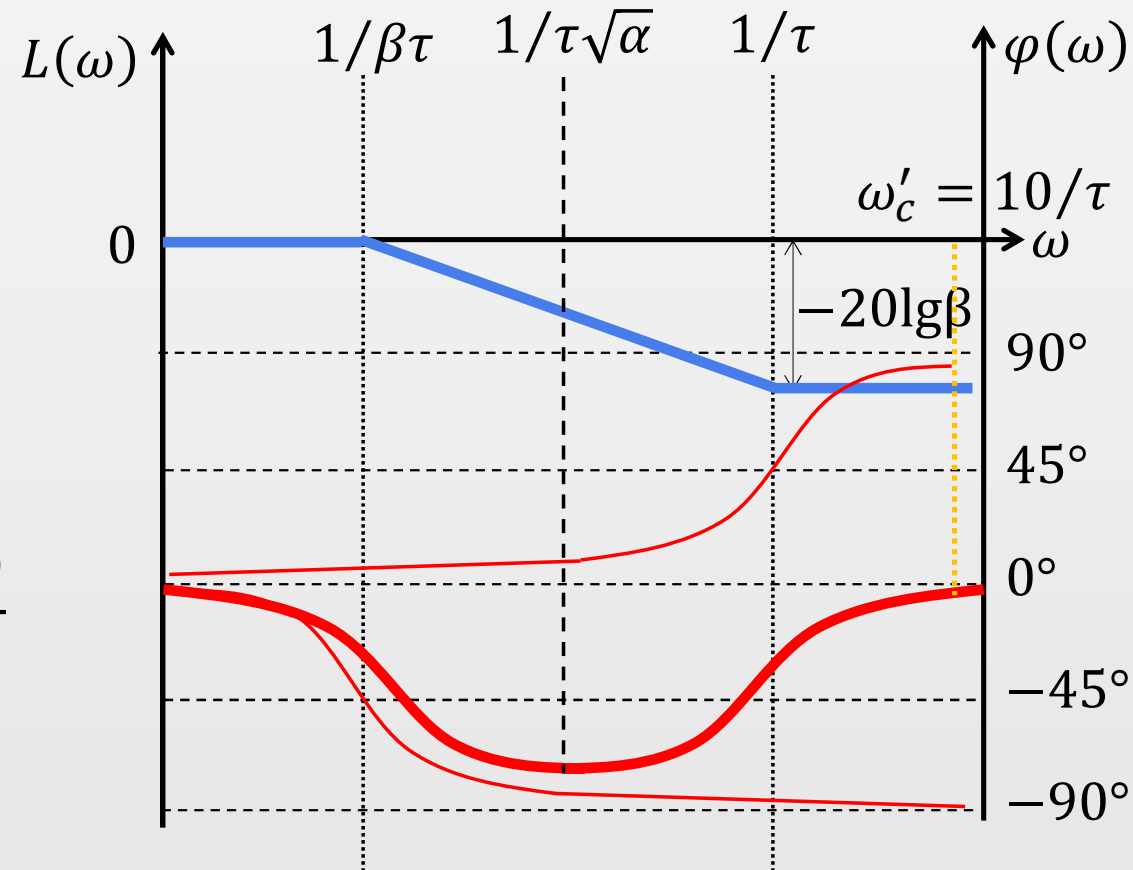
$$\xrightarrow{\beta=\frac{R_1+R_2}{R_2}} \frac{\tau s + 1}{\beta\tau s + 1}$$

$$G_c(s) = \frac{\tau s + 1}{\beta\tau s + 1}$$

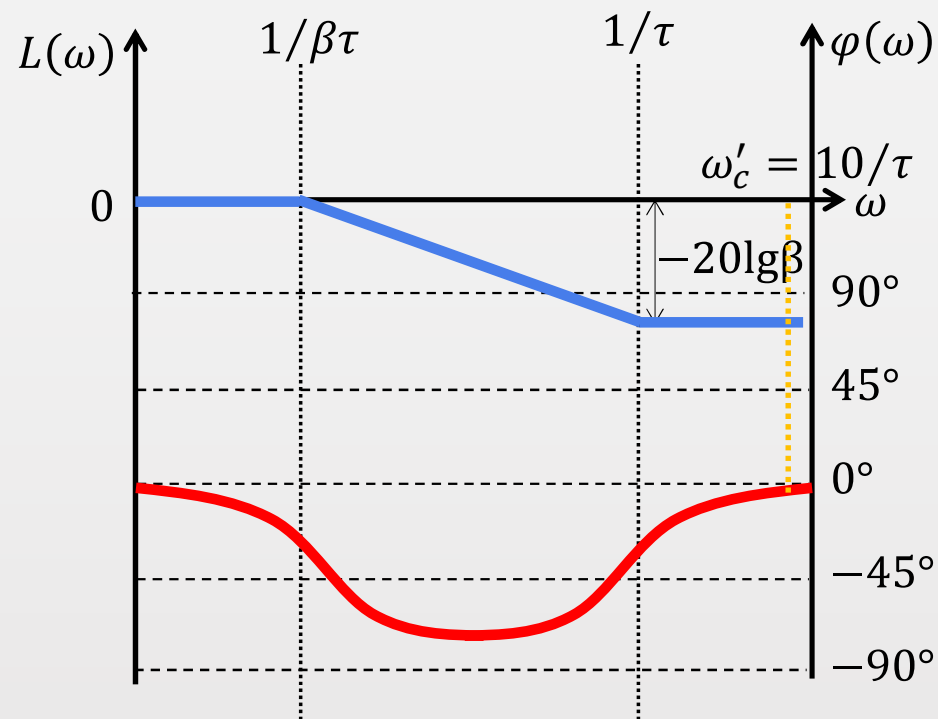


$$\begin{aligned}\varphi\left(\frac{10}{\tau}\right) &= \arctan(10) - \arctan(10\beta) \\ &= \arctan \frac{10(1 - \beta)}{1 + 100\beta}\end{aligned}$$

$$\begin{aligned}\lim_{\beta \rightarrow \infty} \varphi\left(\frac{10}{\tau}\right) &= \lim_{\beta \rightarrow \infty} \arctan \frac{10(1 - \beta)}{1 + 100\beta} \\ &= \arctan \frac{-1}{10} = -5.7106^\circ > -6^\circ\end{aligned}$$



$$G_c(j\omega) = \frac{j\omega\tau + 1}{j\beta\omega\tau + 1}$$



作用：

- 利用幅值衰减特性，可以挖掘原系统自身的相位储备量，提高系统的稳定裕度；
- 压低了高频段，相应提高了校正后系统的抗高频干扰能力。

(四) 相位滞后-超前校正装置

$$\frac{U_2(s)}{U_1(s)} = \frac{(\tau_1 s + 1)(\tau_2 s + 1)}{\tau_1 \tau_2 s^2 + (\tau_1 + \tau_2 + \tau_{12})s + 1}$$

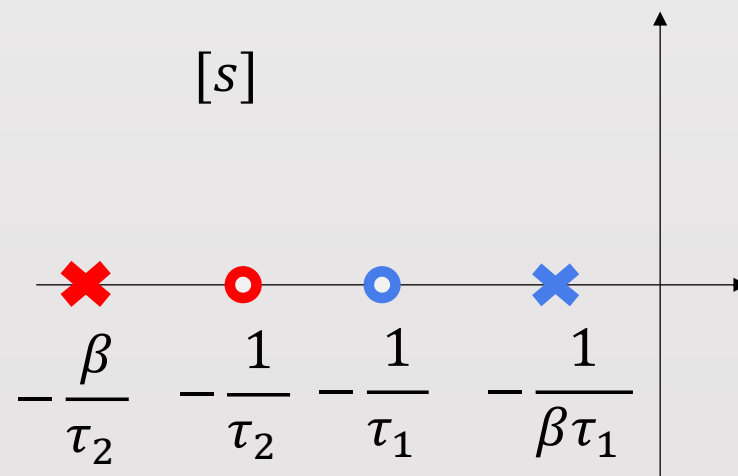
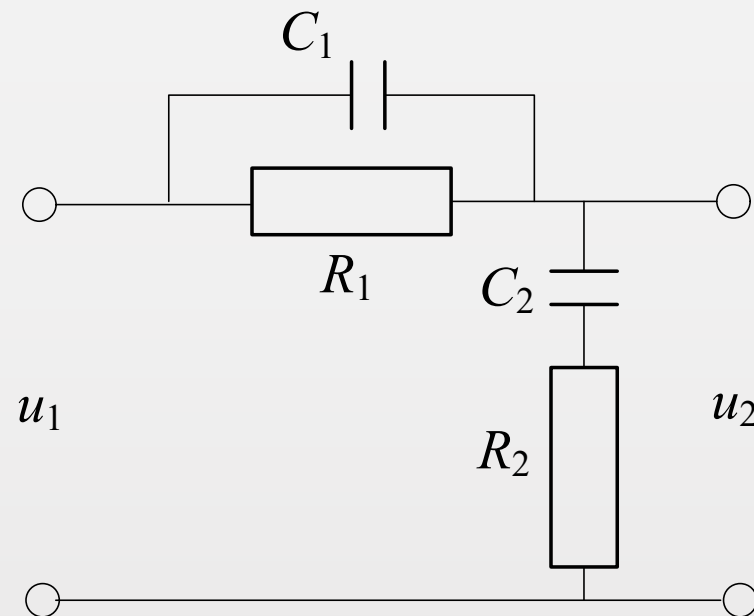
$$\begin{cases} \tau_1 = R_1 C_1 \\ \tau_2 = R_2 C_2 \\ \tau_{12} = R_1 C_2 \end{cases}$$

$$\beta \tau_1 + \frac{\tau_2}{\beta} = \tau_1 + \tau_2 + \tau_{12} \quad (\beta > 1)$$

$$\beta \tau_1 > \tau_1 > \tau_2 > \frac{\tau_2}{\beta}$$

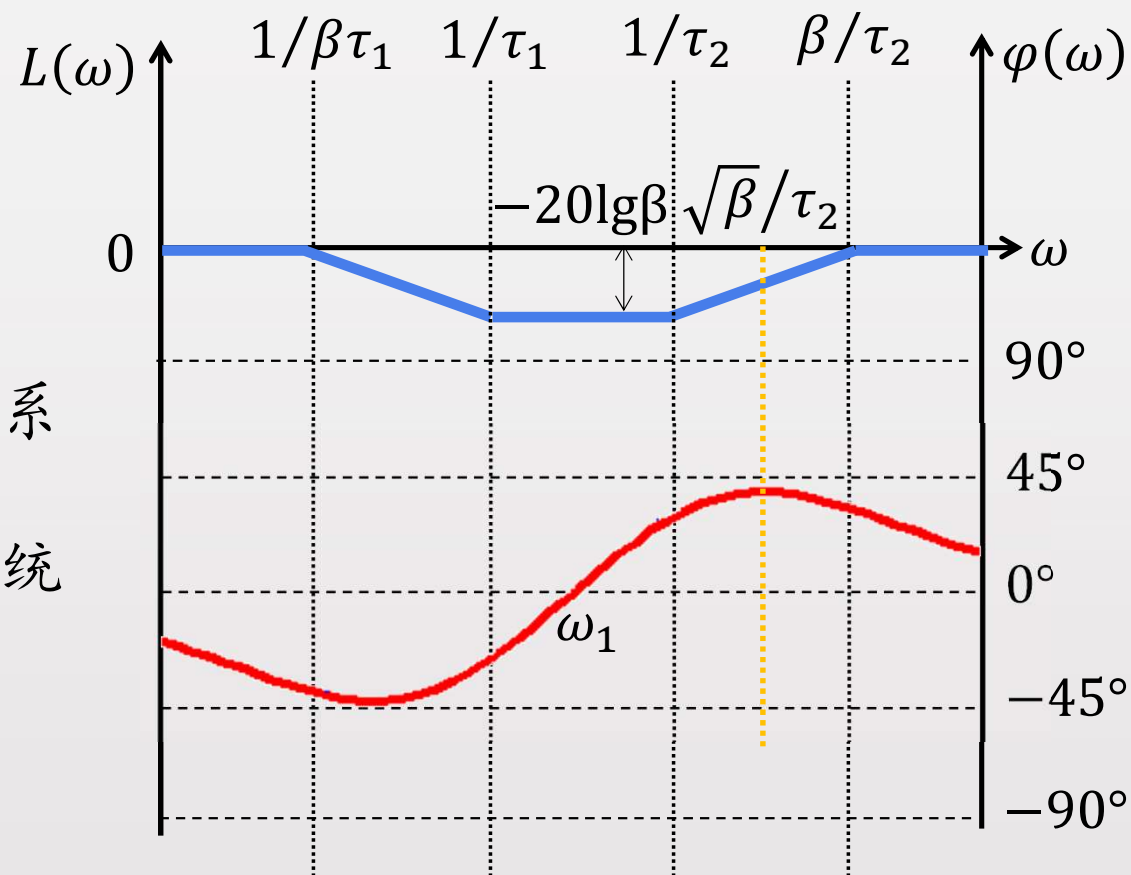
$$= \left(\frac{\tau_1 s + 1}{\beta \tau_1 s + 1} \right) \left(\frac{\tau_2 s + 1}{\frac{\tau_2}{\beta} s + 1} \right)$$

滞后部分 超前部分



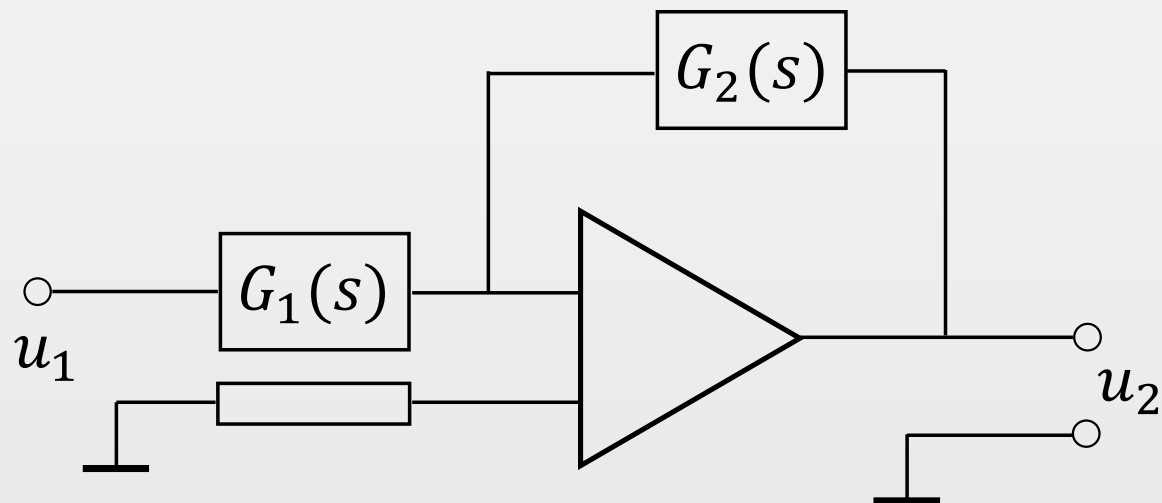
作用:

- 利用相位超前特性, 有效增加系统的相角裕度;
- 利用幅值衰减特性, 挖掘原系统自身的相位储备量。



$$G_c(s) = \frac{(j\omega\tau_1 + 1)(j\omega\tau_2 + 1)}{(j\omega\beta\tau_1 + 1)(\frac{j\omega\tau_2}{\beta} + 1)}$$

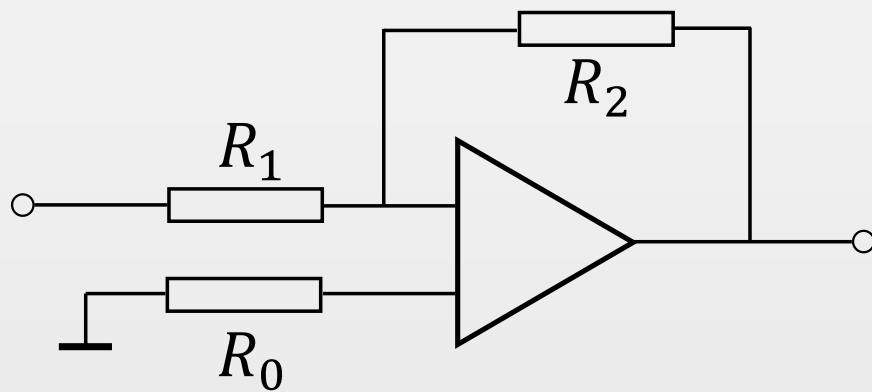
有源校正装置



有源校正装置示意图

$$G_c(s) = \frac{G_2(s)}{G_1(s)}$$

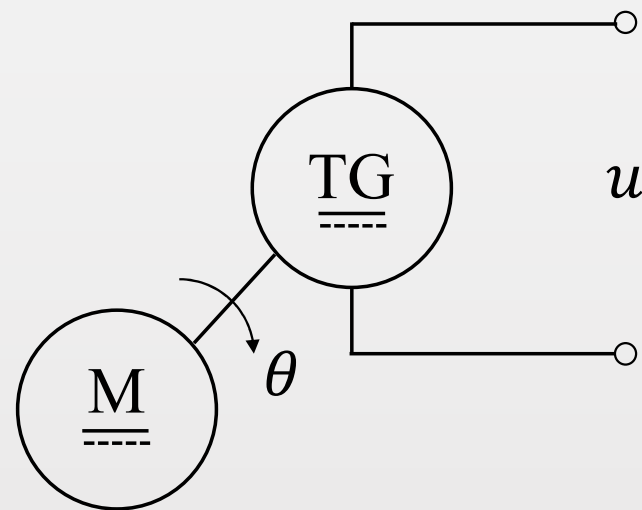
比例(P)



$$G_c(s) = K$$

$$K = \frac{R_2}{R_1}$$

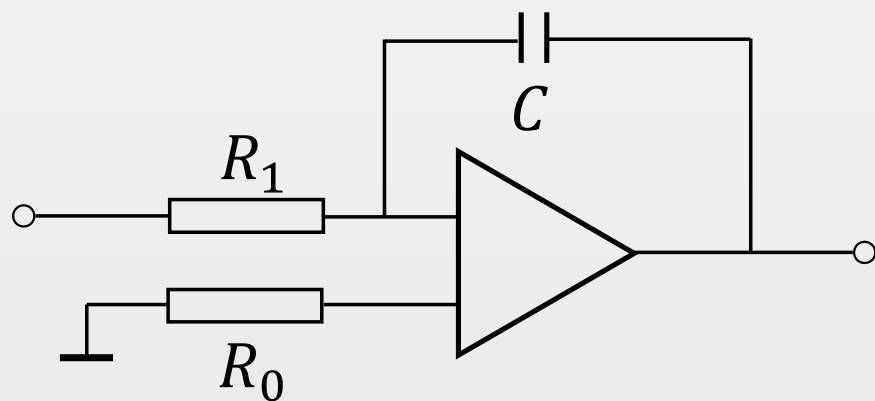
微分(D)



$$G_c(s) = Ks$$

$$u = K \frac{d\theta}{dt}$$

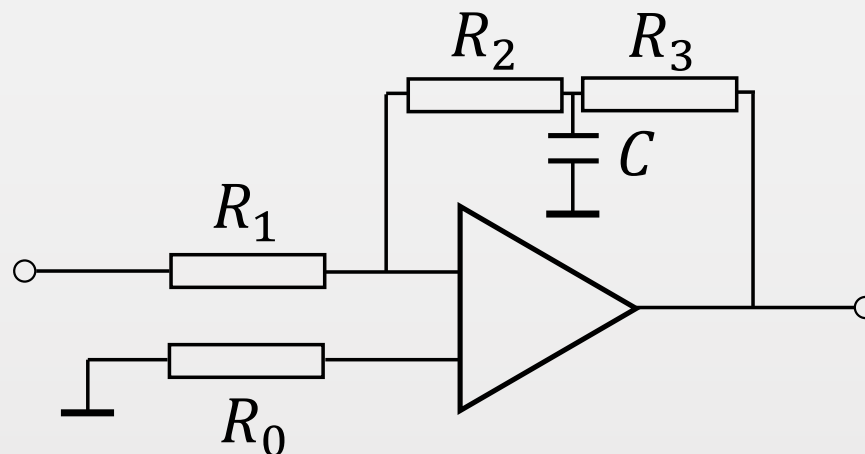
积分(I)



$$G_c(s) = \frac{1}{\tau s}$$

$$\tau = R_1 C$$

比例-微分(PD)

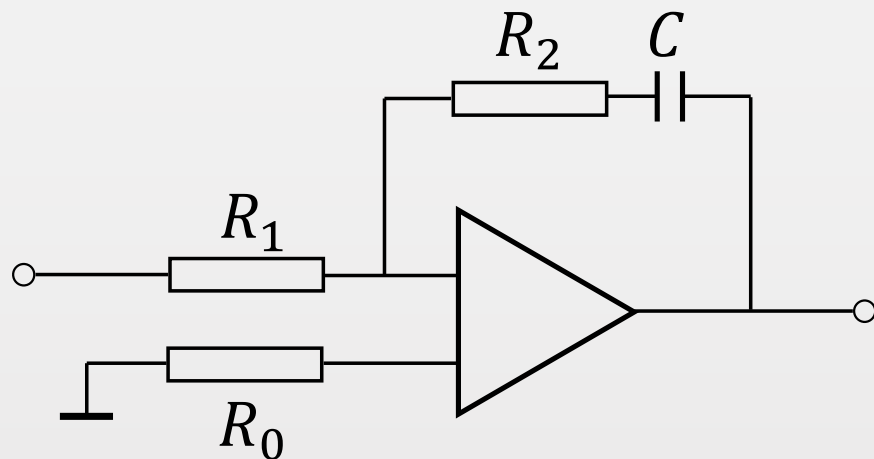


$$G_c(s) = K(\tau s + 1)$$

$$\tau = \frac{R_2 R_3}{R_1 + R_3} C$$

$$K = \frac{R_2 + R_3}{R_1}$$

比例-积分(PI)

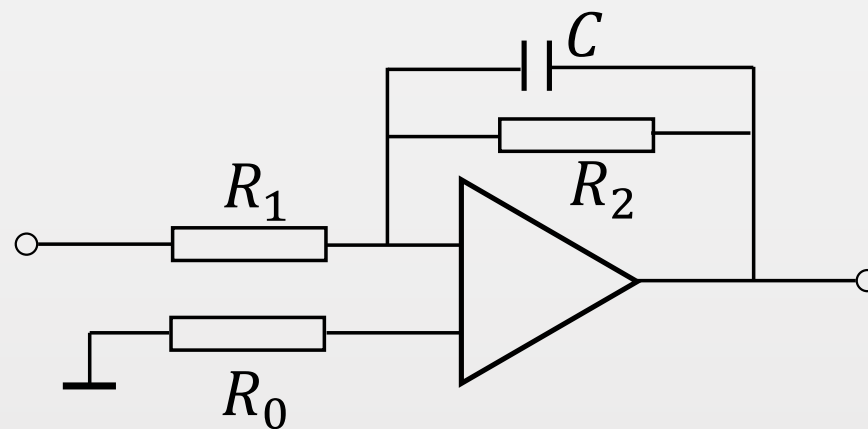


$$G_c(s) = \frac{K(\tau s + 1)}{\tau s}$$

$$\tau = R_2 C$$

$$K = \frac{R_2}{R_1}$$

滤波型调节器 (惯性环节)



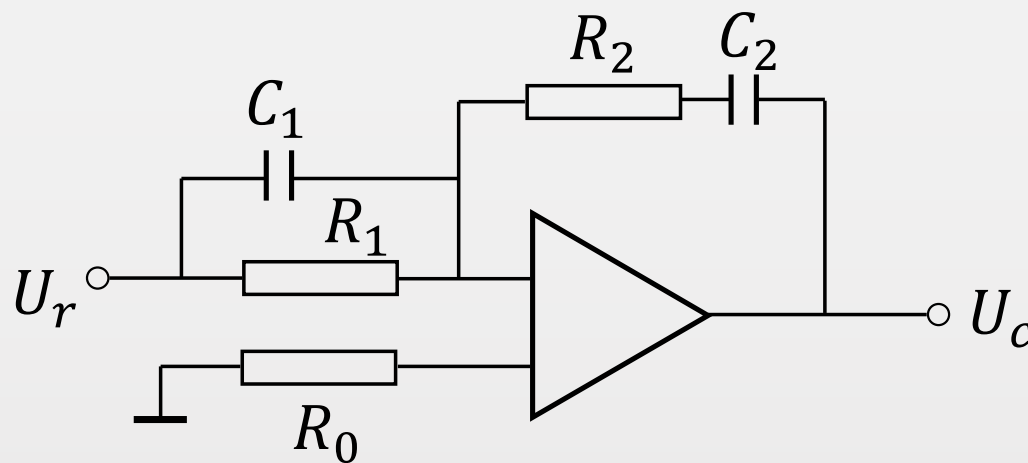
$$G_c(s) = \frac{K}{1 + \tau s}$$

$$\tau = R_2 C$$

$$K = \frac{R_2}{R_1}$$

PID控制器

$$\frac{\frac{U_r}{1}}{\frac{1}{\frac{1}{R_1} + C_1 s}} = \frac{U_c}{R_2 + \frac{1}{C_2 s}}$$



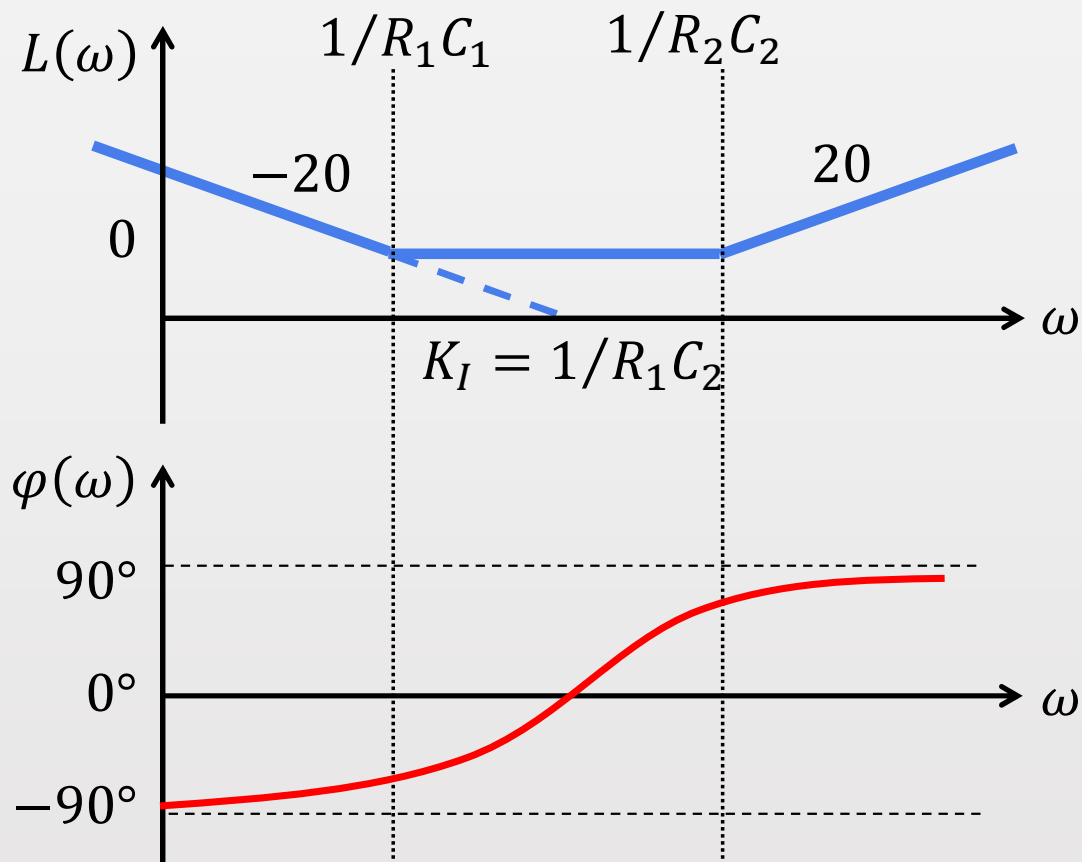
$$G_c(s) = \frac{U_c}{U_r} = \underbrace{R_2 C_1 s}_{K_D} + \underbrace{\left(\frac{C_1}{C_2} + \frac{R_2}{R_1} \right)}_{K_P} + \underbrace{\frac{1}{R_1 C_2 s}}_{K_I} = K_D s + K_P + \frac{K_I}{s}$$

$$G_c(s) = R_2 C_1 s + \left(\frac{C_1}{C_2} + \frac{R_2}{R_1} \right) + \frac{1}{R_1 C_2 s}$$

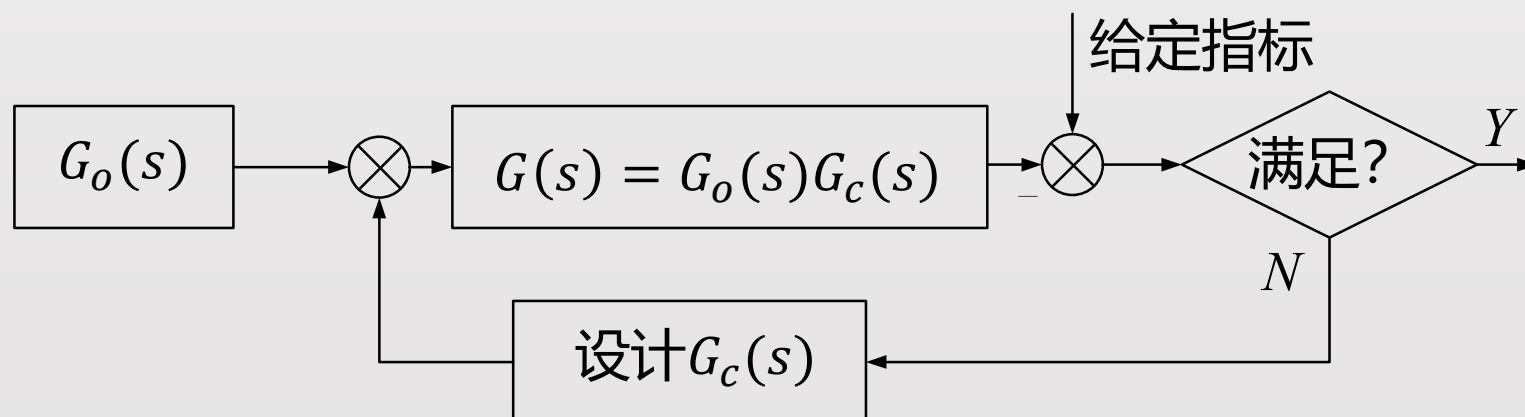
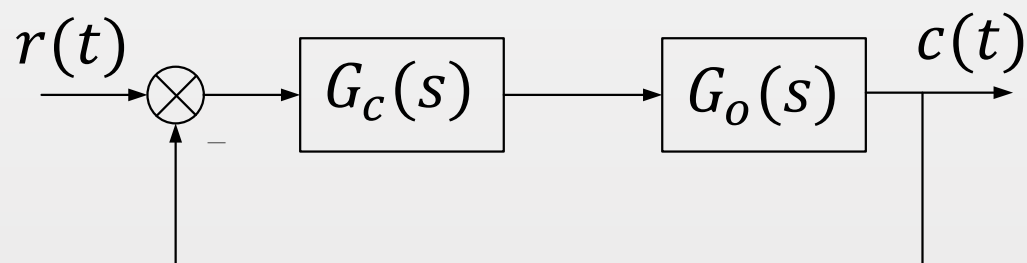
$$= \frac{(R_1 C_1 s + 1)(R_2 C_2 s + 1)}{R_1 C_2 s}$$

作用:

- 低频段，积分作用，改善稳态性能；
- 中高频段，微分作用，改善动态性能。

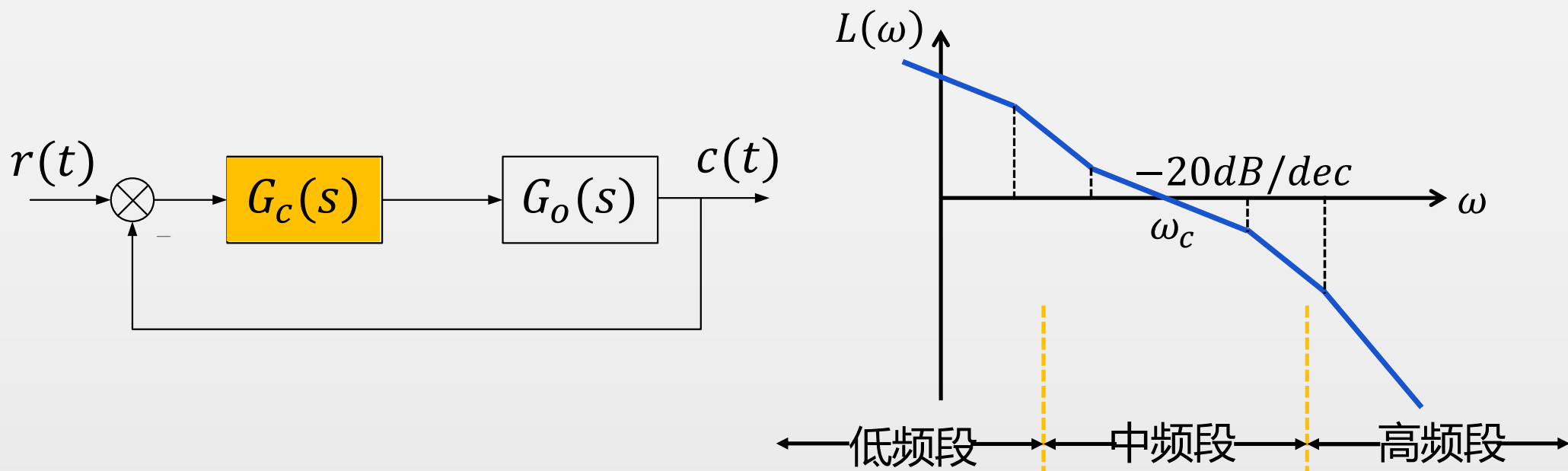


频域法串联校正的设计过程



控制系统性能指标

	时域	频域（开环）	频域（闭环）
稳态性能	开环增益 K 系统型别 ν	(低频段) 开环增益 K 系统型别 ν	零频值
暂态性能	最大超调量 M_p 调节时间 t_s	(中频段) 剪切频率 ω_c 相角裕度 γ	谐振峰值 M_r 带宽频率 ω_b



- 低频段增益充分大，以保证稳态误差要求；
- 中频段对数幅频特性斜率一般为 -20dB/dec ，并占据充分宽的频带，以保证具备适当的相角裕度；
- 高频段增益尽快减小，以削弱噪声影响。

串联相位超前校正

原理： 利用超前网络相角超前特性增大系统的相角裕度

适用： $\omega_{c0} < \omega_c^*$ 、 $\gamma_0 < \gamma^*$

步骤：

①由 $e_{sr}^* \rightarrow K$

②由 $G_0(s) \rightarrow L_0(\omega) \rightarrow \omega_{c0} \rightarrow \gamma_0$

③确定 $\varphi_m = \gamma^* - \gamma_0 + (5^\circ \sim 10^\circ)$, $\alpha = \frac{1 - \sin \varphi_m}{1 + \sin \varphi_m}$, $-10\lg\alpha$

④作图设计, 确定 $G_c(s)$

⑤ $G(s) = G_c(s) \cdot G_0(s)$, 验算 ω_c , γ 是否满足指标

效果：

①保持低频段 满足稳态精度

②改善中频段 $\omega_c \uparrow$ 、 $\gamma \uparrow$, ω_c 附近斜率减小, 动态性能提高

③抬高高频段 抗高频干扰能力降低

例：已知某单位反馈系统的开环传递函数为 $G(s) = \frac{K}{s(s+1)}$ ，要求： $r(t) = t$ 时， $e_{sr}^* \leq 0.1$ ， $\omega_c^* \geq 5$ ， $\gamma^* \geq 60^\circ$ ，试确定串联校正装置的传递函数 $G_c(s)$

解：① $e_{sr}^* = \frac{1}{K} \leq 0.1 \quad K \geq 10$

② 确定原系统的 ω_{c0} 、 γ_0

$$\omega_{c0} = \sqrt{10} = 3.16 < \omega_c^*$$

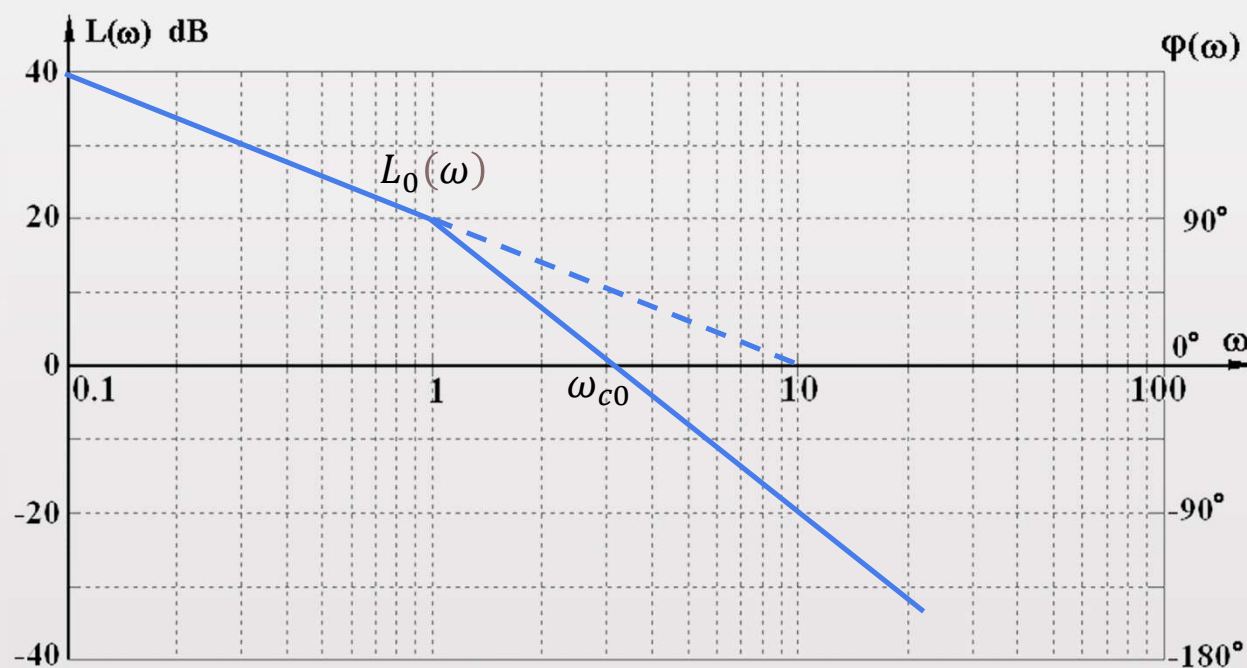
$$\gamma_0 = 180^\circ - 90^\circ - \arctan 3.16 = 17.6^\circ < \gamma^*$$

采用串联相位超前校正

$$\begin{aligned} \text{③ } \varphi_m &= \gamma^* - \gamma_0 + 5^\circ \\ &= 60^\circ - 17.6^\circ + 5^\circ = 47.4^\circ \end{aligned}$$

$$\alpha = \frac{1 - \sin 47.4^\circ}{1 + \sin 47.4^\circ} \approx \frac{1}{7}$$

$$-10\lg\alpha = 8.5\text{dB}$$



④作图设计

$$8.5 = 40 \lg \frac{\omega_c}{\omega_{c0}} \quad \omega_c = 3.16 \times 10^{\frac{8.5}{40}} = 5.16 > \omega_c^*$$

$$\frac{\omega_c}{\omega_1} = \frac{\omega_2}{\omega_c} = \frac{7\omega_1}{\omega_c}$$

$$\omega_1 = 1.94 \quad \omega_2 = 13.73$$

$$G_c(s) = \frac{\frac{s}{1.94} + 1}{\frac{s}{13.73} + 1}$$

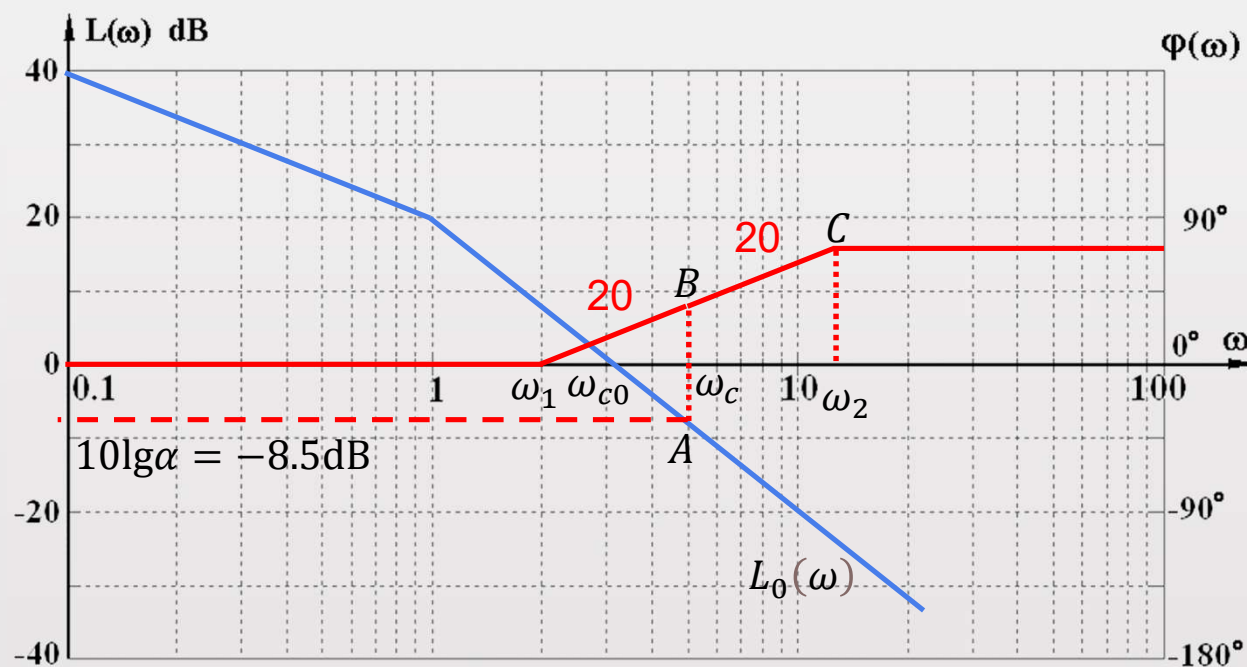
⑤验算

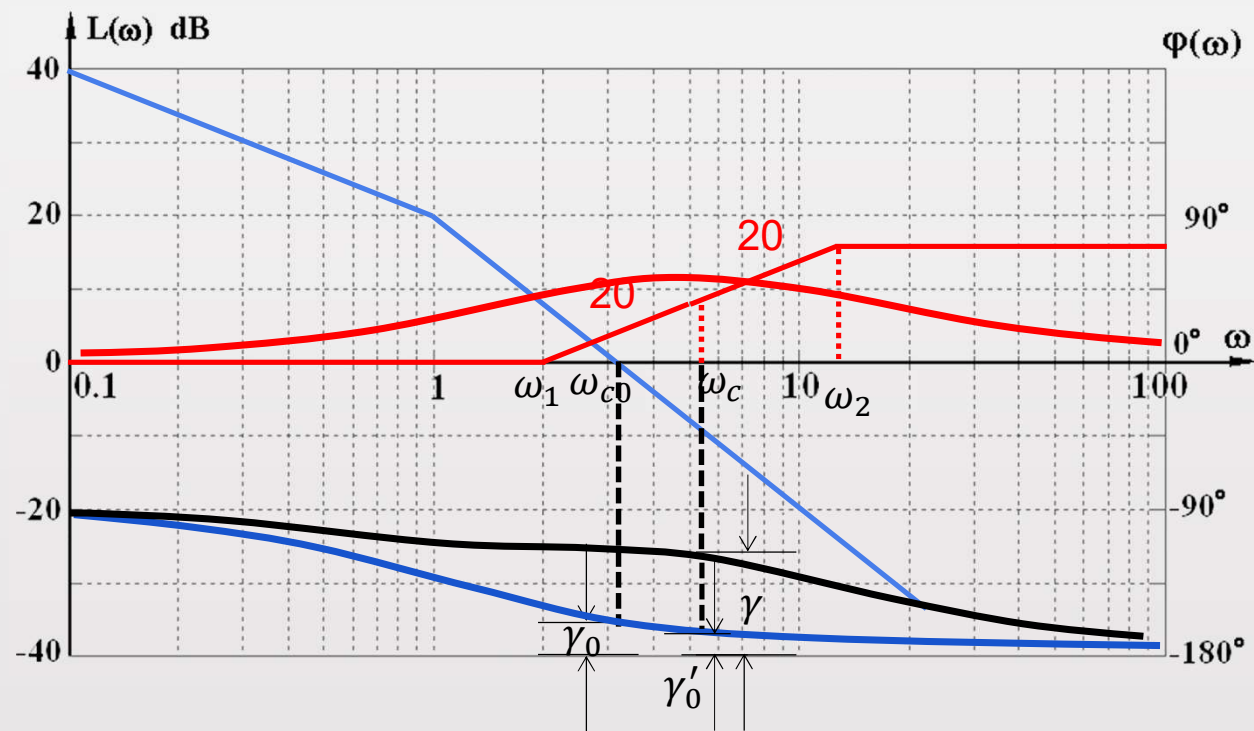
$$G(s) = G_c(s) \cdot G_0(s)$$

$$= \frac{\frac{s}{1.94} + 1}{\frac{s}{13.73} + 1} \cdot \frac{10}{s(s+1)}$$

$$K = 10 \quad \omega_c = 5.16 > \omega_c^*$$

$$\gamma = 180^\circ + \arctan \frac{5.16}{1.94} - \arctan \frac{5.16}{13.73} - 90^\circ - \arctan 5.16 = 58.8^\circ < \gamma^*$$





$$\gamma_0 - \gamma'_0 \approx 5^\circ \sim 10^\circ$$

$$\varphi_m = \gamma^* - \gamma_0 + (5^\circ \sim 10^\circ)$$

重新校正

方法①: 令 $\alpha = \frac{1}{8}$

$$-10\lg\alpha = 9\text{dB}$$

$$\omega_c = 3.16 \times 10^{\frac{9}{40}} = 5.3 > \omega_c^*$$

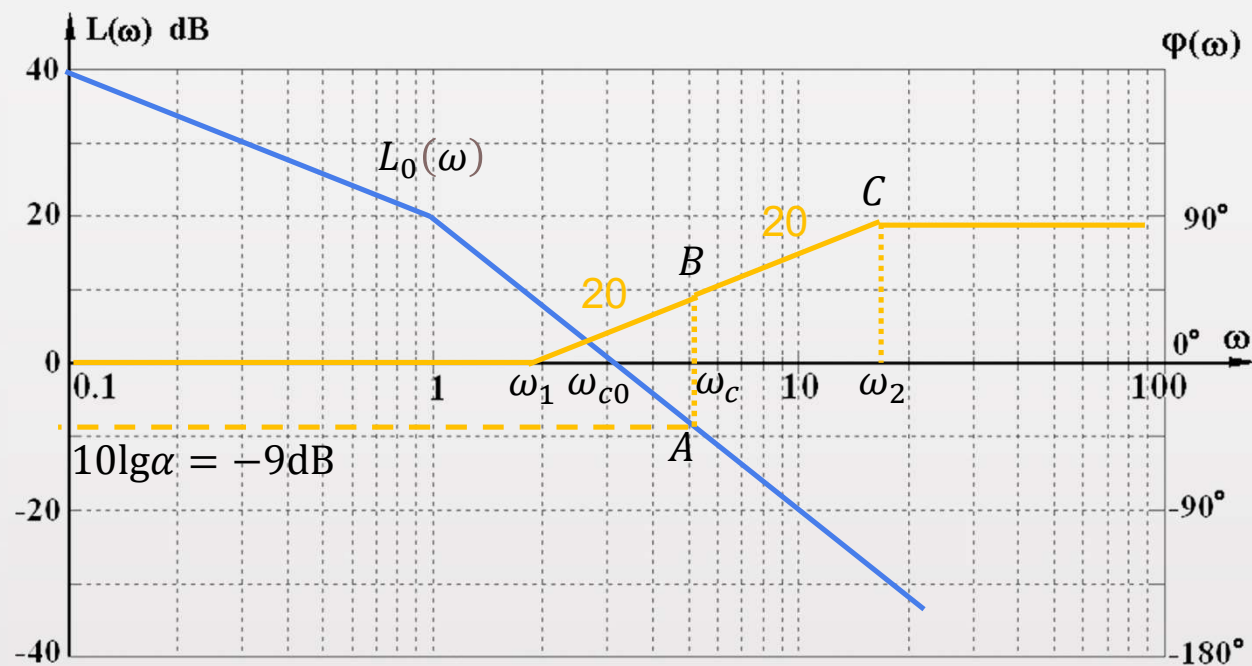
$$\frac{\omega_c}{\omega_1} = \frac{\omega_2}{\omega_c} = \frac{8\omega_1}{\omega_c}$$

$$\omega_1 = 1.87 \quad \omega_2 = 15$$

$$G_c(s) = \frac{\frac{s}{1.87} + 1}{\frac{s}{15} + 1}$$

$$G(s) = \frac{\frac{s}{1.94} + 1}{\frac{s}{13.73} + 1} \cdot \frac{10}{s(s+1)}$$

$$\gamma = 180^\circ + \arctan \frac{5.3}{1.87} - \arctan \frac{5.3}{15} - 90^\circ - \arctan 5.3 = 61.8^\circ$$



方法②:

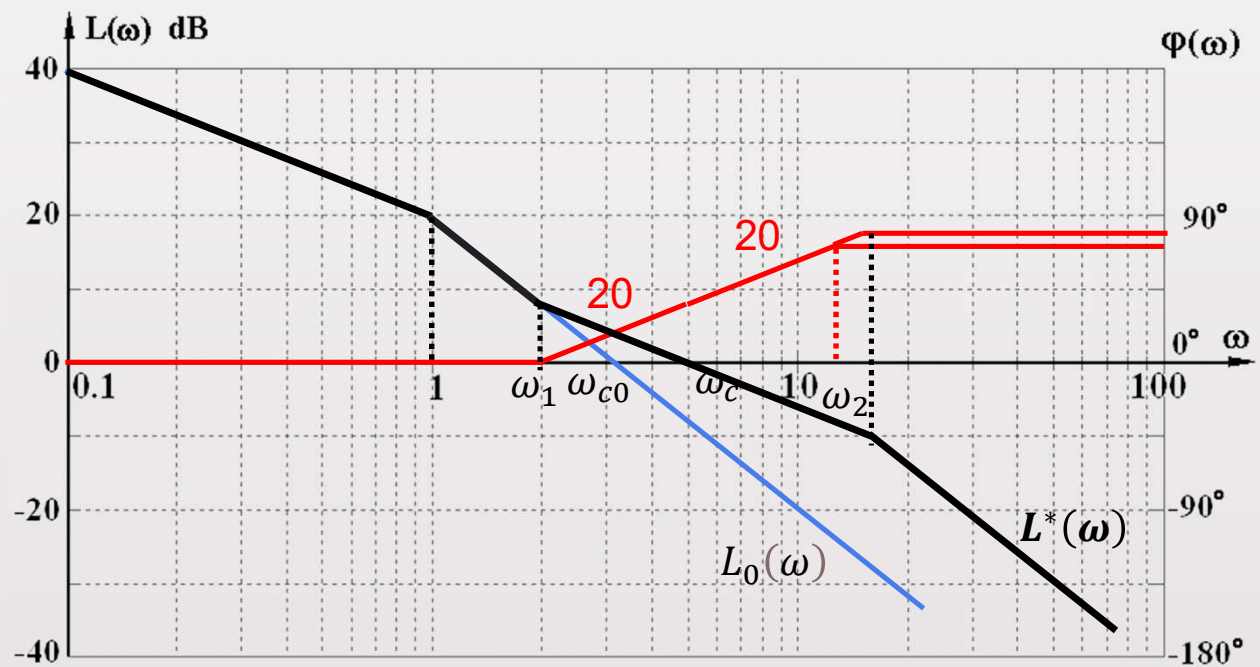
$$\text{令 } G_{c2}(s) = \frac{\frac{s}{1.94} + 1}{\frac{s}{15} + 1}$$

$$G(s) = \frac{\frac{s}{1.94} + 1}{\frac{s}{15} + 1} \cdot \frac{10}{s(s+1)}$$

$$\gamma_2 = 180^\circ + \arctan \frac{5.16}{1.94}$$

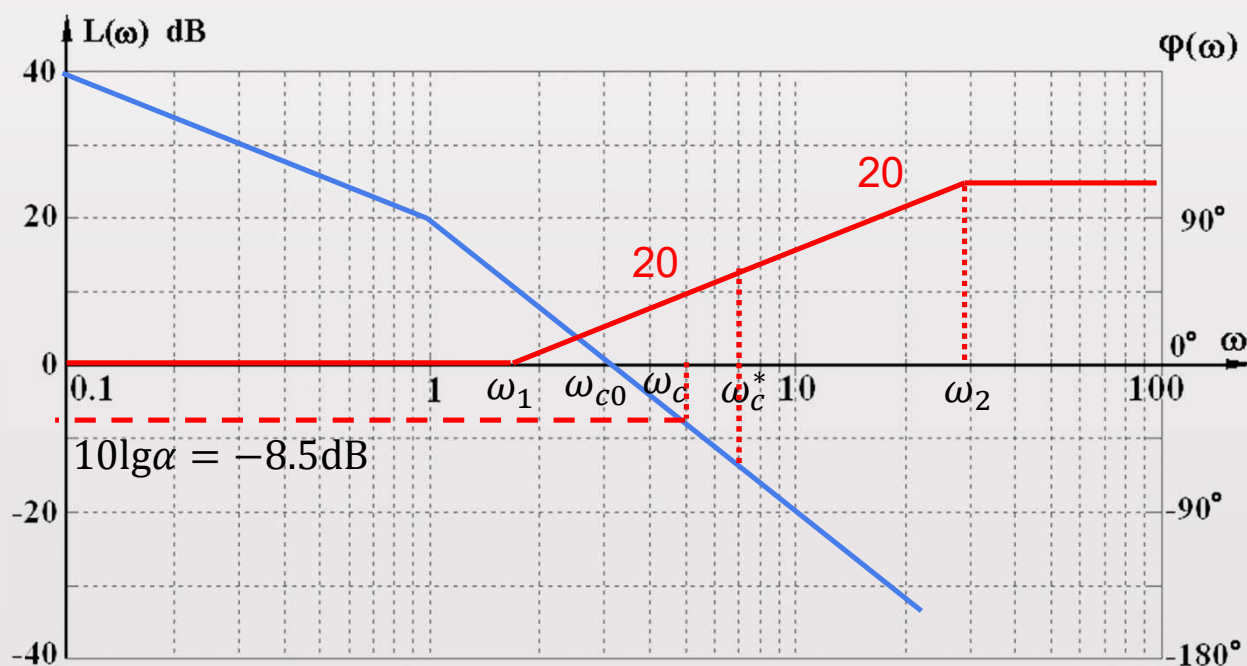
$$-\arctan \frac{5.16}{15} - 90^\circ - \arctan 5.16$$

$$= 60.4^\circ > \gamma^*$$



还是这个系统: $G(s) = \frac{K}{s(s+1)}$, 要求: $r(t)=t$ 时, $e_{sr}^* \leq 0.1$, $\omega_c^* \geq 7$, $\gamma^* \geq 60^\circ$, 试确定串联校正装置的传递函数 $G_c(s)$

$$\omega_c = 5.16 < \omega_c^*$$



串联相位滞后校正

原理： 利用滞后网络幅值衰减特性，将系统的中频段压低，使校正后系统的剪切频率减小，挖掘系统自身的相角储备

适用： $\omega_{c0} > \omega_c^*$ 、 $\gamma_0 < \gamma^*$

步骤：

- ①由 $e_{sr}^* \rightarrow K$
- ②由 $G_0(s) \rightarrow L_0(\omega) \rightarrow \omega_{c0} \rightarrow \gamma_0$
- ③确定 $\gamma_0(\omega_c) = \gamma^* + 6^\circ$ ， $\Rightarrow \omega_c$
- ④作图设计，确定 $G_c(s)$
- ⑤ $G(s) = G_c(s) \cdot G_0(s)$ ，验算 ω_c ， γ 是否满足指标

效果：

- | | |
|--------|--|
| ①保持低频段 | 满足稳态精度 |
| ②降低中频段 | $\omega_c \downarrow$ 、 $\gamma \uparrow$ ，损失快速性，改善均匀性 |
| ③压低高频段 | 提高抗高频干扰能力 |

例：已知某单位反馈系统的开环传递函数为 $G(s) = \frac{K}{s(0.2s+1)(0.1s+1)}$ ，要求：
 $K_v^* = 30$ ， $\omega_c^* \geq 2.3$ ， $\gamma^* \geq 40^\circ$ ，试确定串联校正装置的传递函数 $G_c(s)$

解：① $K_v^* = \lim_{s \rightarrow 0} sG(s) = K$

$$K = 30$$

②

$$\frac{30}{\omega_{c0} \cdot \frac{\omega_{c0}}{5} \cdot \frac{\omega_{c0}}{10}} = 1$$

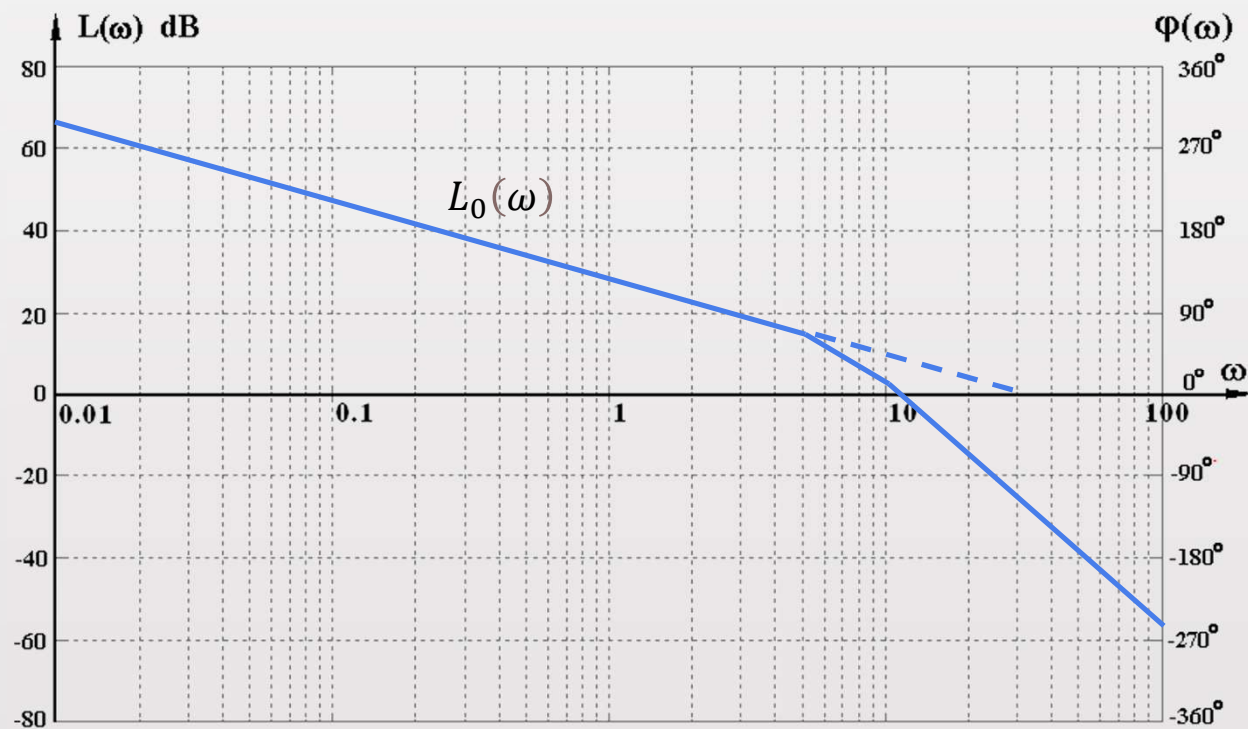
$$\omega_{c0} = 11.45 > \omega_c^*$$

$$\gamma_0 = 90^\circ - \arctan \frac{11.45}{5} - \arctan \frac{11.45}{10} = -25.28^\circ < \gamma^*$$

若采用串联超前校正：

$$\varphi_m = \gamma^* - \gamma_0 + 10^\circ > 60^\circ, \text{ 不能一次成功}$$

$$\text{在 } \omega_c^* = 2.3 \text{ 处, } \gamma_0(\omega_c^*) = 52.345^\circ > \gamma^* + 6^\circ$$



③令 $\gamma_0(\omega_c) = \gamma^* + 6^\circ = 46^\circ = 180^\circ + \varphi(\omega_c)$

$\omega_c = 2.7$

④作图设计, 确定 $G_c(s)$

$$\frac{30}{\omega_c} = \frac{0.1\omega_c}{\omega_1} \quad \omega_1 = 0.0243$$

$$G_c(s) = \frac{\frac{s}{0.27} + 1}{\frac{s}{0.0243} + 1}$$

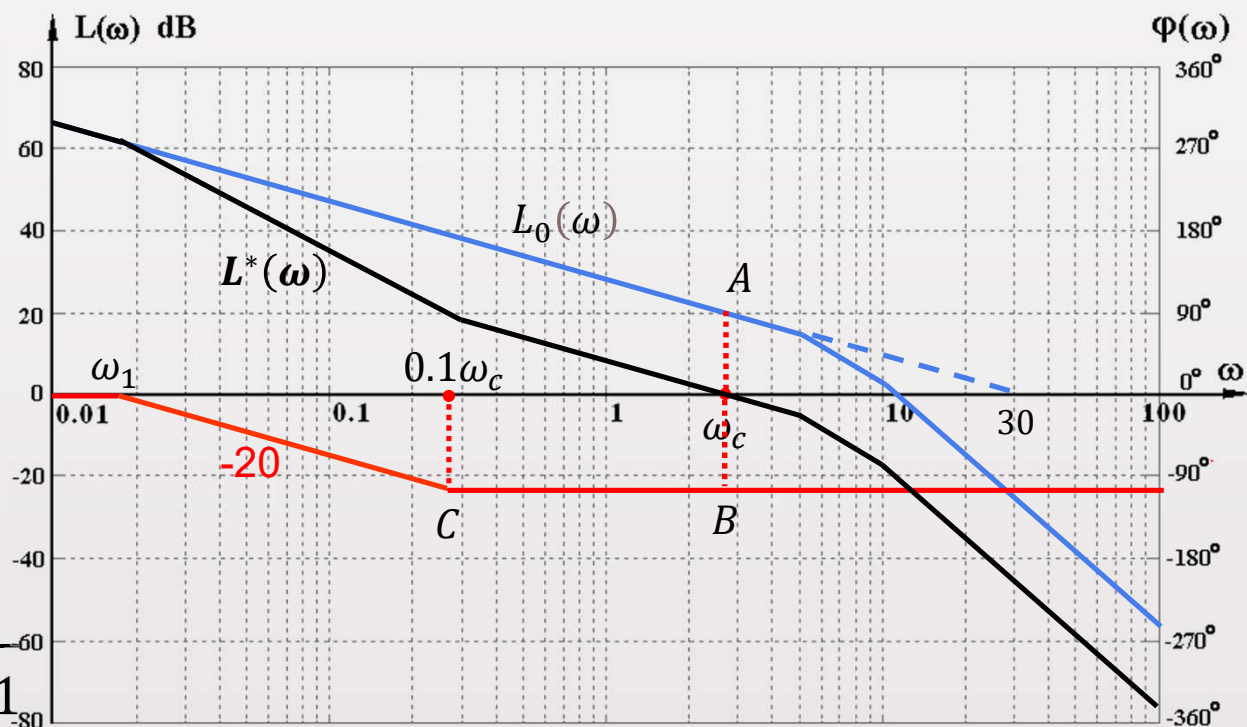
⑤验算

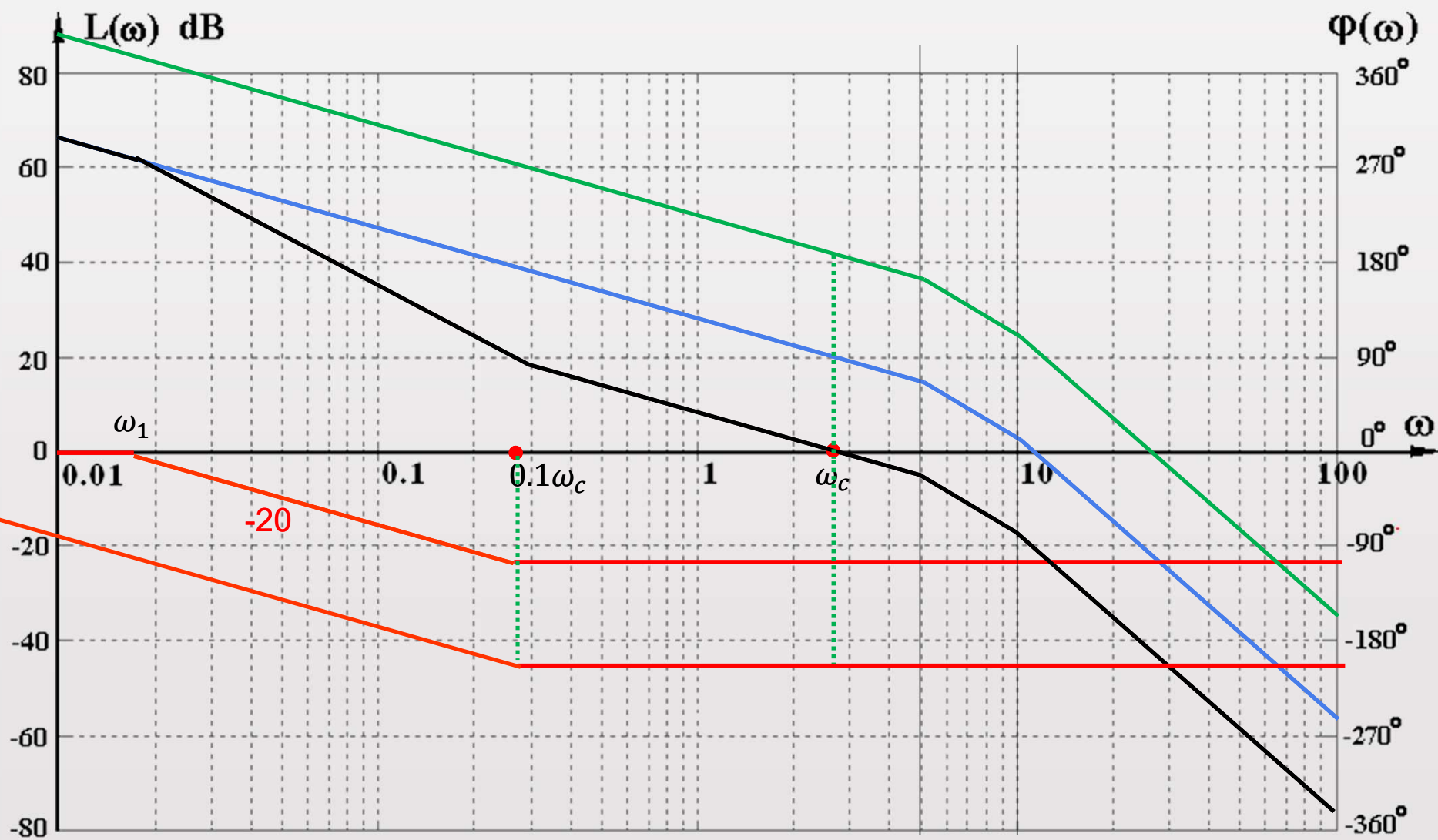
$$G(s) = \frac{30}{s(0.2s + 1)(0.1s + 1)} \frac{\frac{s}{0.27} + 1}{\frac{s}{0.0243} + 1}$$

$K = 30 \quad \omega_c = 2.7$ 符合要求

$$\gamma = 180^\circ + \arctan \frac{2.7}{0.27} - 90^\circ - \arctan(0.2 \times 2.7) - \arctan(0.1 \times 2.7) - \arctan \frac{2.7}{0.0243}$$

$= 41.3^\circ$ 符合要求





串联相位滞后-超前校正

原理：综合利用滞后网络幅值衰减、超前网络相角超前特性。

适用：超前、滞后均不成功

步骤：

①由 $e_{sr}^* \rightarrow K$

②由 $G_0(s) \rightarrow L_0(\omega) \rightarrow \omega_{c0} \rightarrow \gamma_0$

③确定 $\varphi_m = \gamma^* - \gamma_0(\omega_c^*) + 6^\circ$, $\alpha = \frac{1 - \sin \varphi_m}{1 + \sin \varphi_m}$

④作图设计, 确定 $G_c(s)$

⑤ $G(s) = G_c(s) \cdot G_0(s)$, 验算 ω_c , γ 是否满足指标

效果：

①保持低频段 满足稳态精度

②改善中频段 γ 显著提高

例：已知某单位反馈系统的开环传递函数为 $G(s) = \frac{K}{s(\frac{s}{10}+1)(\frac{s}{60}+1)}$ ，要求： $r(t) = t$

时 $e_{sr}^* \leq \frac{1}{126}$ ， $\gamma^* \geq 35^\circ$ ， $\omega_c^* \geq 20 \text{ rad/s}$ ，试确定串联校正装置的传递函数 $G_c(s)$

解：① $e_{sr}^* = \frac{1}{K} \leq \frac{1}{126}$ $K \geq 126$

②

$$\omega_{c0} = \sqrt{10 \times 126} = 35.5$$

$$\gamma_0 = 90^\circ - \arctan \frac{35.5}{10} - \arctan \frac{35.5}{60} = -14.9^\circ \text{ (不符合、不稳定)}$$

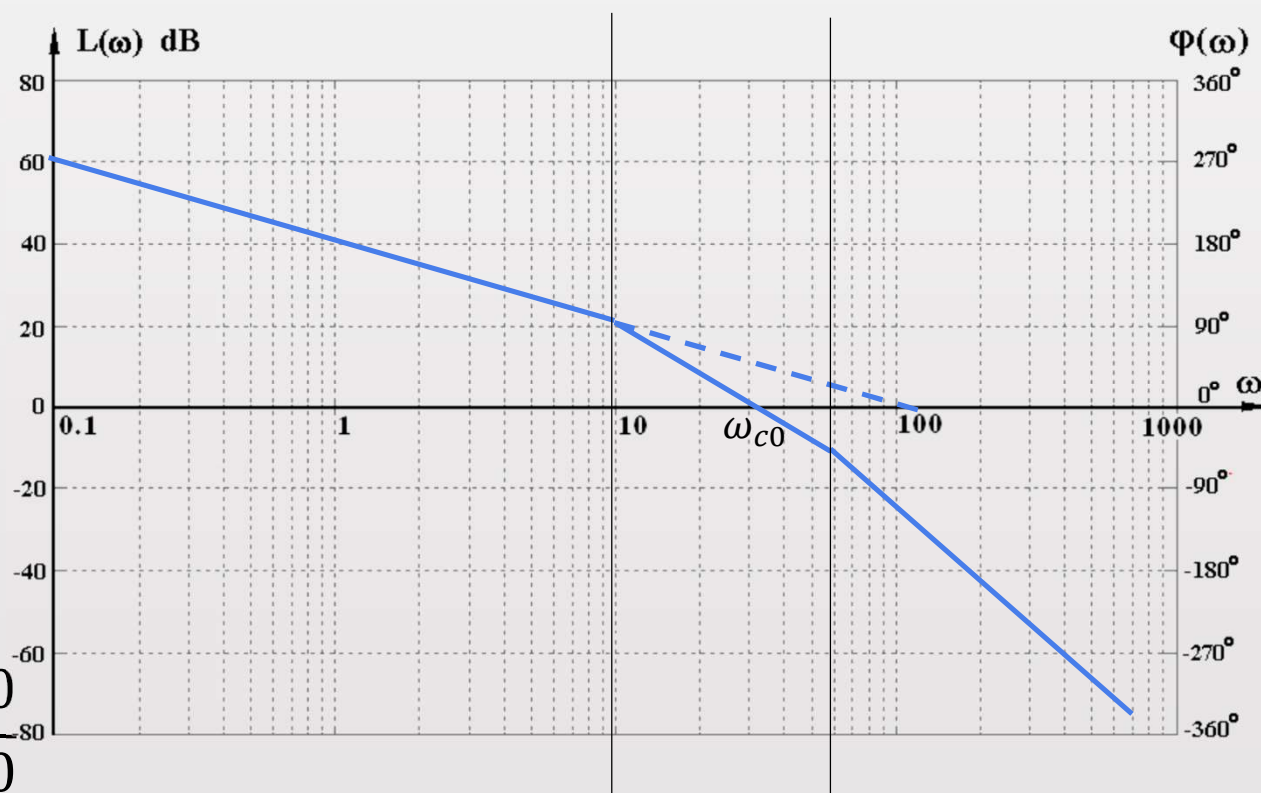
③若用超前校正

$$\varphi_m = \gamma^* - \gamma_0 + 10^\circ = 59.9^\circ \text{ (不行)}$$

若用滞后校正

$$\gamma_0(\omega_c^*) = 90^\circ - \arctan \frac{20}{10} - \arctan \frac{20}{60} = 8.2^\circ < \gamma^* + 6^\circ \text{ (不行)}$$

决定采用滞后-超前校正



超前部分应该提供的超前角： $\varphi_m = \gamma^* - \gamma_0(20) + 6^\circ = 35^\circ - 8.2^\circ + 6^\circ = 32.8^\circ$

$$\alpha = \frac{1 - \sin \varphi_m}{1 + \sin \varphi_m} = \frac{1}{3.4}$$

$$\sqrt{\alpha} = \frac{1}{1.85}$$

④作图设计，确定 $G_c(s)$

$$\omega_1 = \sqrt{\alpha} \omega_c = 10.81$$

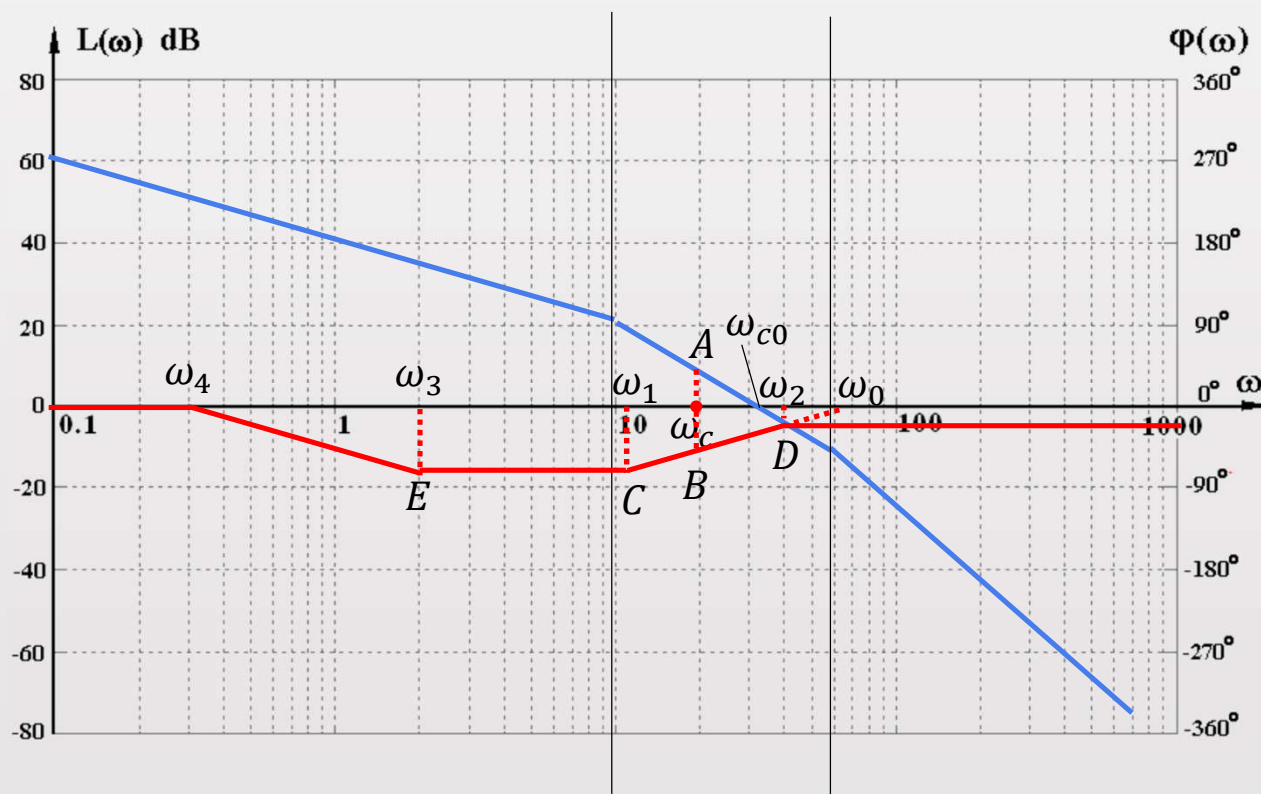
$$\omega_2 = \frac{1}{\sqrt{\alpha}} \omega_c = 37$$

$$\omega_3 = 0.1 \omega_c = 2$$

$$\frac{\omega_{c0}}{\omega_c} = \frac{\omega_0}{\omega_3} \quad \omega_0 = 63$$

$$\frac{\omega_c}{\omega_0} = \frac{\omega_3}{\omega_4} \quad \omega_4 = 0.343$$

$$G_c(s) = \frac{(\frac{s}{2} + 1)(\frac{s}{10.81} + 1)}{(\frac{s}{0.343} + 1)(\frac{s}{37} + 1)}$$



⑤验算

$$G(s) = \frac{126}{s(\frac{s}{10} + 1)(\frac{s}{60} + 1)} \cdot \frac{(\frac{s}{2} + 1)(\frac{s}{10.81} + 1)}{(\frac{s}{0.343} + 1)(\frac{s}{37} + 1)}$$

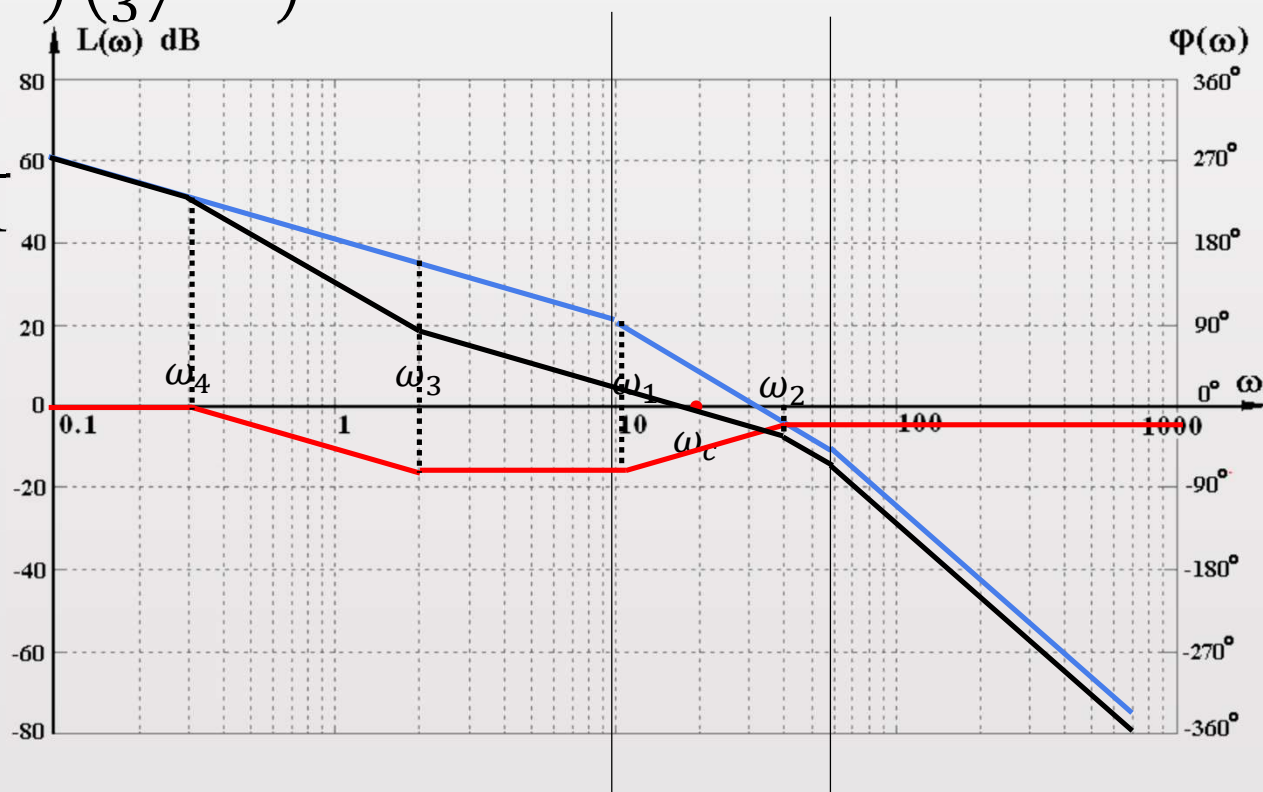
$$\omega_c = 20 \text{ rad/s}$$

$$\gamma = 180^\circ + \arctan \frac{20}{2} + \arctan \frac{20}{10.81}$$

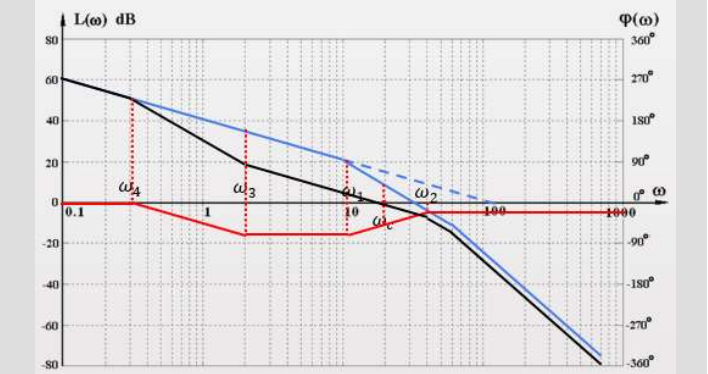
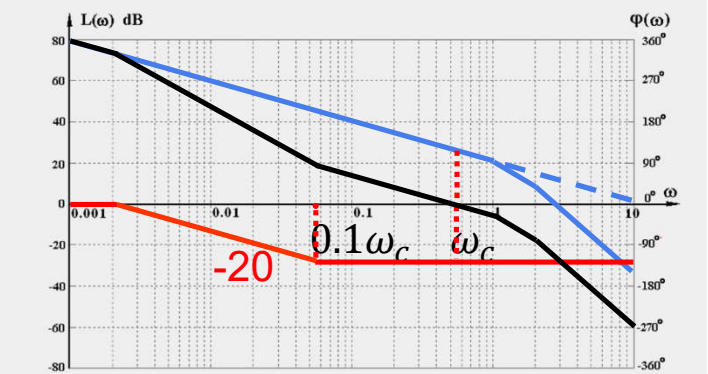
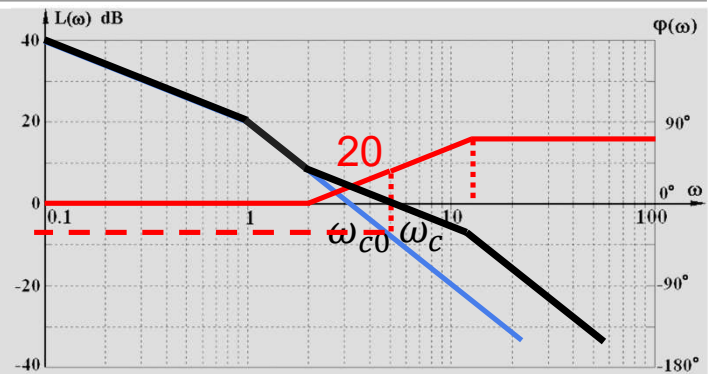
$$-90^\circ - \arctan \frac{20}{10} - \arctan \frac{20}{60}$$

$$-\arctan \frac{20}{0.343} - \arctan \frac{20}{37}$$

$$= 36.6^\circ > 35^\circ$$



校正方法	网络特点	应用场合	效果
超前校正 (微分)	相角超前 幅值增加	$\omega_{c0} < \omega_c^*$ $\gamma_0 < \gamma^*$	$\omega_c \uparrow$ 、 $\gamma \uparrow$ 抗高频干扰能力↓
滞后校正 (积分)	幅值衰减 相角滞后	$\omega_{c0} > \omega_c^*$ $\gamma_0 < \gamma^*$ $\gamma_0(\omega_c^*) > \gamma^* + 6^\circ$	$\omega_c \downarrow$ 、 $\gamma \uparrow$ 抗高频干扰能力↑ 可增大 K 改善稳态性能
滞后-超前校正	幅值衰减 相角超前	超前、滞后均不成功	$\gamma \uparrow \uparrow$



例：已知某单位反馈系统的开环传递函数为 $G(s) = \frac{K}{(s+1)(\frac{s}{5}+1)(\frac{s}{30}+1)}$ ，试设

计PID控制器，使系统稳态速度误差 $e_{sr}^* \leq 0.1$ ， $\omega_c^* \geq 15$ ， $\gamma^* \geq 65^\circ$

解：① $r(t) = t$ 时，

$$e_{sr}^* = \frac{1}{K} \leq 0.1 \quad K = 10 (\nu = 1)$$

② 确定原系统的 ω_{c0} 、 γ_0

$$\omega_{c0} = \sqrt{5 \times 10} = 7.07 < \omega_c^*$$

$$\begin{aligned} \gamma_0 &= 180^\circ - \arctan 7.07 - \\ &\quad \arctan \frac{7.07}{5} - \arctan \frac{7.07}{30} \\ &= 30^\circ < \gamma^* \end{aligned}$$

$$\begin{aligned} \gamma_0(\omega_c^*) &= 180^\circ - \arctan 15 - \\ &\quad \arctan \frac{15}{5} - \arctan \frac{15}{30} \\ &= -4.3^\circ \end{aligned}$$



超前校正、滞后校正、滞后-超前校正均不能成功得到预计动态性能

选择PID校正

令 $\omega_c = 15 \text{ rad/s}$

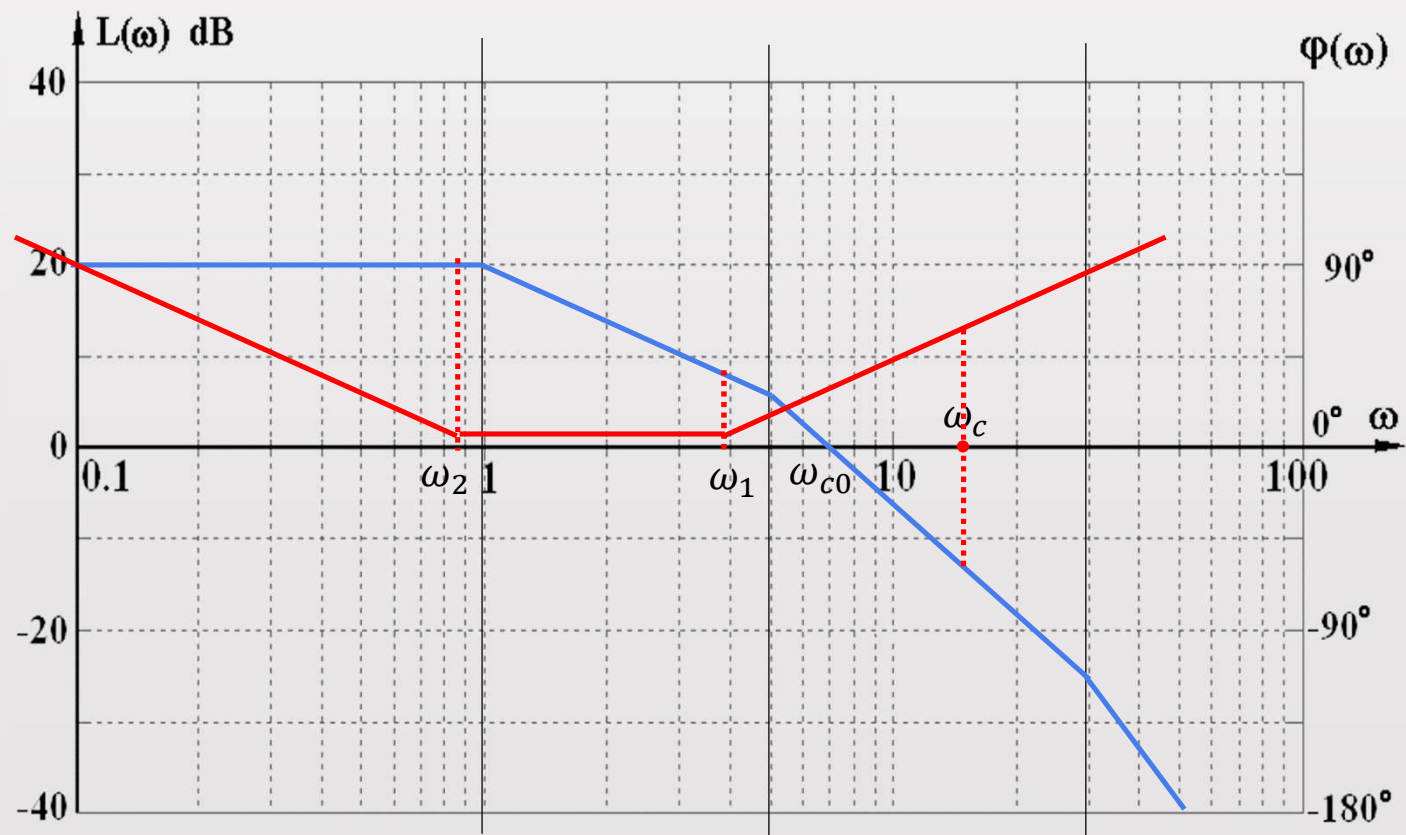
④作图设计, 确定 $G_c(s)$

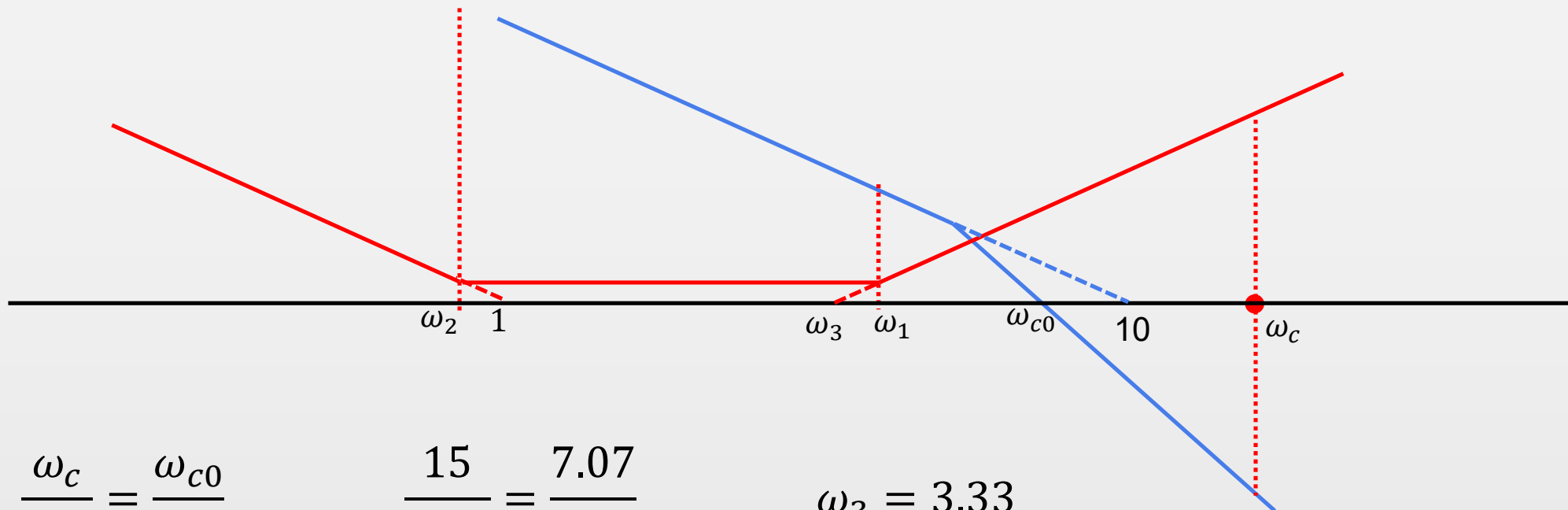
$$\varphi_m = \gamma^* - \gamma_0(\omega_c) + 6^\circ = 65^\circ - (-4.3^\circ) + 6^\circ = 75.3^\circ$$

$$\angle\left(1 + \frac{s}{\omega_1}\right)\bigg|_{\omega=15} = \arctan \frac{15}{\omega_1}$$

$$\arctan \frac{15}{\omega_1} = 75.3^\circ \quad \omega_1 = 3.9$$

PID增益为1





$$\frac{\omega_c}{\omega_{c0}} = \frac{\omega_{c0}}{\omega_3}$$

$$\frac{1}{\omega_2} = \frac{\omega_1}{\omega_3}$$

$$\frac{15}{7.07} = \frac{7.07}{\omega_3}$$

$$\frac{1}{\omega_2} = \frac{3.9}{3.33}$$

$$\omega_3 = 3.33$$

$$\omega_2 = 0.854$$

$$G_c(s) = \frac{(\frac{s}{0.854} + 1)(\frac{s}{3.9} + 1)}{s} = \frac{0.3s^2 + 1.426s + 1}{s} = K_D s + K_P + K_I/s$$

⑤验算

$$G(s) = G_c(s) \cdot G_0(s) = \frac{(\frac{s}{0.854} + 1)(\frac{s}{3.9} + 1)}{s} \cdot \frac{10}{(s + 1)(\frac{s}{5} + 1)(\frac{s}{30} + 1)}$$

$$\gamma = 180^\circ + \arctan \frac{15}{0.854} + \arctan \frac{15}{3.9} - 90^\circ - \arctan 15 - \arctan \frac{15}{5} - \arctan \frac{15}{30}$$

$$= 67.85^\circ > \gamma^*$$

